Zimbra

Solicitação de Informações sobre Andamento do Projeto e Prazos para a Construção do Novo Aeroporto

De:

qua., 04 de dez. de 2024 17:32

Assunto: Solicitação de Informações sobre Andamento do

Projeto e Prazos para a Construção do Novo

Aeroporto

Para: semhab@rioclaro.sp.gov.br

Prezado(a) Senhor(a),

Gostaria de solicitar informações detalhadas sobre o andamento do projeto os prazos previstos para a construção do novo aeroporto, conforme

mencionado no Edital 101/2024, referente ao Leilão 04/2024, com previsão

realização em 23 de dezembro de 2024.

Essas informações são essenciais para uma avaliação completa do processo para a formulação de propostas alinhadas às exigências do leilão.

Agradecemos desde já a atenção e aguardamos um retorno em breve.

Atenciosamente,

2- 5





Rua Dr. Eloy Chaves, 3265 (Núcleo Administrativo Municipal – NAM)

Alto do Santana - 13504-188 - Rio Claro - SP - Brasil

Tel: +55 (19) 3522-1905 | (19) 3522-1906

Oficio SemHab nº 189/2024

Ref. Resposta à Solicitação de Informações Detalhadas (Novo Aeroporto)

− Leilão 04/2024

Solicitante −

Em resposta à solicitação de informações detalhadas, referentes ao novo aeroporto, recebida através do e-mail da <u>semhab@rioclaro.sp.gov.br</u> (em anexo), encaminhamos o relatório de prospecção referente ao Aeroporto em Rio Claro, elaborado pelo Ministério de Portos e Aeroportos com o suporte técnico do Instituto Tecnológico de Aeronáutica (ITA). É importante destacar que Rio Claro está entre os seis municípios priorizados em âmbito nacional para a construção de novos aeroportos, reforçando a relevância estratégica do projeto para a região.

As próximas etapas do processo incluem a publicação do Decreto de Utilidade Pública (DUP), que formalizará a destinação da área necessária para o empreendimento, e a elaboração do projeto executivo, etapa fundamental para o detalhamento técnico e viabilização da construção. Ambas as fases serão conduzidas pelo próprio Ministério de Portos e Aeroportos, garantindo alinhamento com as diretrizes governamentais e padrões de infraestrutura aeroportuária.

Continuamos à disposição para esclarecimentos,

Atenciosamente,

Rio Claro, 06 de dezembro de 2024.

Agnelo da Silva Matos Neto Secretário de Planejamento e Habitação

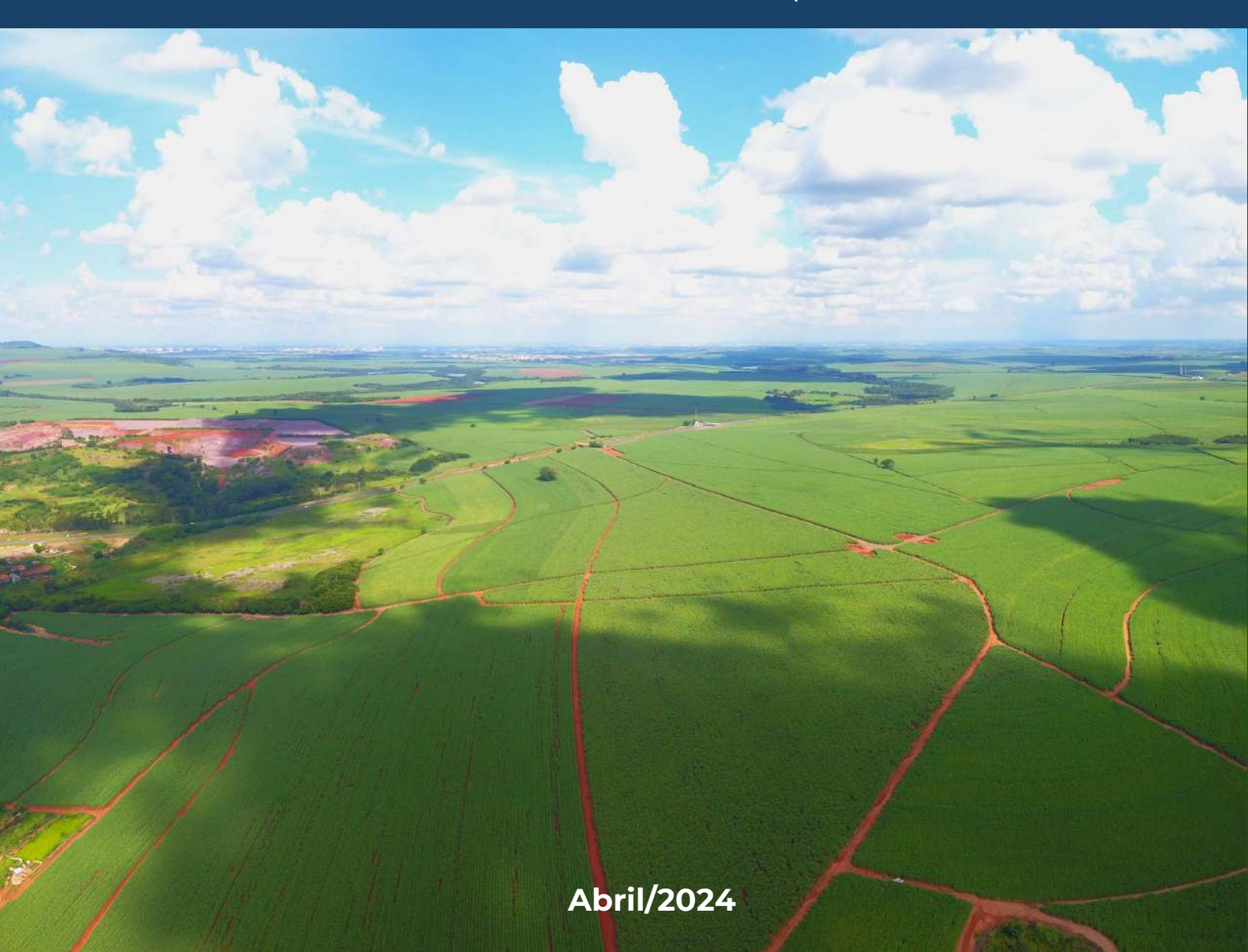
À Secretaria Municipal de Compras Ilmo. Sr. Secretário Municipal Bráulio César Augusto



Prospecção de Novo Sítio Aeroportuário

RIO CLARO - SP

Preparado para a Secretaria Nacional de Aviação Civil Ministério de Portos e Aeroportos



Projeto InovaaC

DIAGNÓSTICOS, ESTUDOS E PESQUISAS VISANDO INOVAÇÃO E APERFEIÇOAMENTO DO SISTEMA DE AVIAÇÃO CIVIL BRASILEIRO

OBJETO 2 - ESTUDOS EM APOIO AOS INVESTIMENTOS EM AEROPORTOS REGIONAIS

Etapa 1 - Desenvolvimento de metodologia e apoio à seleção de sítios aeroportuários

SOBRE

COORDENAÇÃO: Cláudio Jorge Pinto Alves.

EQUIPE: Evandro José da Silva, Eduardo Moraes Arraut, José Caléia Castro, Nadinne Fernandes, Fábio

Silveira e Reinaldo dos Santos.

REVISÃO: Equipe SAC. Departamento de Investimentos.

COMO CITAR

ITA. Aplicação da Metodologia de Escolha de Sítios Aeroportuários Regionais – MESA: Rio Claro - SP. Instituto Tecnológico de Aeronáutica. Diagnósticos, estudos e pesquisas visando inovação e aperfeiçoamento do sistema de aviação civil brasileiro - InovaAC. Preparado para a Secretaria de Aviação Civil (SAC) do Ministério de Portos e Aeroportos. São José dos Campos, 30 de abril de 2024.

Versão 1.1

APRESENTAÇÃO

O presente trabalho é resultado da cooperação entre a Secretaria Nacional de Aviação Civil (SAC) do Ministério de Portos e Aeroportos e o Instituto Tecnológico de Aeronáutica (ITA), que atua no desenvolvimento do projeto "Diagnósticos, estudos e pesquisas visando inovação e aperfeiçoamento do Sistema de Aviação Civil brasileiro", nesse caso no Objeto 2 (Estudos em apoio aos investimentos em aeroportos regionais), em sua Etapa 1 (Desenvolvimento de metodologia e apoio à seleção de sítios aeroportuários).

Esta etapa específica consiste: i) na elaboração e aperfeiçoamento de metodologia de escolha de sítios aeroportuários regionais; e ii) na aplicação da metodologia a casos de prospecção de novos sítios sob demanda da SAC. A metodologia designada como MESA (Metodologia de Escolha de Sítios Aeroportuários Regionais), encontra-se publicada no site do Ministério de Portos e Aeroportos [7] sob a forma de manual e o embasamento metodológico encontra-se publicado em revista científica [2]. O manual deverá ser considerado como referencial para o estudo e avaliação de propostas de novos sítios aeroportuários que demandem investimentos públicos federais oriundos do Fundo Nacional da Aviação Civil – FNAC, conforme a Portaria Nº 837, de 13 de julho de 2021 [4].



Sumário

1	INTRODUÇÃO	8
1.1	Requisitos do Estudo	8
1.2	Dimensionamento do Sítio de Interesse	10
1.3	Contexto Geográfico de Rio Claro	11
1.4	Contexto Econômico de Rio Claro	14
2	REDUÇÃO DA ÁREA DE BUSCA	. 16
2.1	Área Inicial de Busca	16
2.2	Redução da Área	16
2.3	Identificação de Sítios de Interesse	17
3	TRABALHO DE CAMPO	. 22
3.1	Situação dos Atrativos de Fauna	22
3.2	Avaliação de Potenciais Obstáculos ao Espaço Aéreo	24
3.3	Descrição dos Sítios Visitados	26
3.3.1	Sítio S-0-1	
3.3.2	Sítio S-0-2	
333	Sítio S-O-3	3.3

3.3.4	Sítio S-1-1	37
3.3.5	Sítio S-1-2	38
3.3.6	Sítio S-1-3	40
4	RANQUEAMENTO DOS SÍTIOS	44
4.1	Definição do Grupo de Especialistas	44
4.2	Julgamentos dos Especialistas	44
4.3	Agregação Individual de Prioridades AIP	45
4.4	Métricas dos Sítios de Interesse	46
4.5	Ranqueamento	47
	CONSIDERAÇÕES FINAIS	48
	Glossário	50
	APÊNDICES	54
	A. Dimensionamento do Sítio	55
	Apêndice B: Sítio Indicado por Estudos Prévios	67
	Apêndice C: Relatório Geotécnico	69
	Apêndice D: Análises de Obstáculos	91
	Apêndice E: Análises AHP	101



1. INTRODUÇÃO

Neste Capítulo:

- Requisitos do Estudo.
- Estudo Anemométrico.
- Dimensionamento da Área Requerida.
- Contexto Econômico e Geográfico.

Este relatório apresenta o processo de prospecção de um novo sítio aeroportuário para atividades de aviação comercial doméstica e regional no município de Rio Claro-SP. A cidade possui atualmente um aeródromo de terra que se encontra sem condições de expansão, como evidencia a Figura 1.1. Existem inclusive relatos de espalhamento de poeira nas proximidades.

A Equipe ITA teve acesso a um estudo prévio desenvolvido pela INFRAERO [6], que foi considerado nas análises. Foi obtido ainda um mapa da área indicada que é anexado ao presente relatório (Sítio Indicado por Estudos Prévios).

1.1 Requisitos do Estudo

O processo de escolha de um sítio aeroportuário é iniciado pela definição dos objetivos de transporte que este deverá cumprir quando estiver plenamente desenvolvido. Na Tabela 1.1 são apresentados os requisitos do estudo, desenvolvidos em conjunto com a Equipe SAC.



Figura 1.1: Aeródromo existente (SDRK, 22 25 54S/047 33 45W). Fonte da imagem: Google Earth (Airbus 2024)

Tabela 1.1: Requisitos para a prospecção de sítios. Elaboração: Equipe ITA em colaboração com a SAC.

Requisito	Resumo	Descrição	
Requisito 1	Área de busca	Limites do Município de Rio Claro-SP.	
	Aeronave de	CRA (Código de Referência do Aeródromo) 4-C.	
Requisito 2	Projeto	Operação com o B737 8 MAX*. Assume-se tráfego anual equivalente à classe 3 do RBAC 161.	
Requisito 3	Etapa e Peso de	Brasília-DF.	
	Decolagem (PD)		
Requisito 4	Tipo de	Aproximação IFR de Não-Precisão.	
	aproximação	Aproximação ii R de 14a0-1 recisão.	
Requisito 5	Infraestrutura	Inclusão de pista de táxi paralela e pátio.	
	disponibilizada	merusuo de pista de taxi paraieia e patio.	

^{*} A aeronave mencionada refere-se ao projeto final do sítio. A implantação do aeroporto poderá considerar outra aeronave de referência, conforme alinhamento com o Plano Aeroviário Nacional e, eventualmente, de menor porte.

1.2 Dimensionamento do Sítio de Interesse

A configuração espacial do sítio de interesse é determinada levando-se em consideração a aeronave de projeto e os requisitos específicos do estudo. Aspectos críticos como as condições meteorológicas da região, com ênfase na temperatura, direção e velocidade do vento, desempenham um papel fundamental neste processo. Utiliza-se um modelo geométrico composto por retângulos concêntricos para representar as diversas zonas de interesse. A Figura 1.2 ilustra a disposição espacial proposta.

- Área 1 corresponde à **Área Física** efetiva do sítio que requer certa preparação. Deixa-se alguma folga para alocação da pista de pouso. Busca-se evitar locais com nascentes, rodovias, estradas e outras incompatibilidades para minimizar impactos ambientais e de engenharia.
- Área 2 é delimitada pela curva simplificada de 75 dB do Plano Básico de Zoneamento de Ruído (PBZR), conforme o estabelecido no RBAC 161 [1]. Esta área exige desapropriação e pode conter nascentes, banhados e rodovias, desde que se considere que o ruído não é incompatível. Esta área é aqui referida como *PPSit* (Polígono Preliminar do Sítio a ser buscado).
- Área 3, similarmente, é delimitada pela curva de 65 dB do PBZR, representando uma zona com restrições moderadas ao ruído. No processo de alocação espacial do sítio, busca-se minimizar o número de edificações afetadas. Esta área não requer desapropriação, de acordo com a modelagem adotada no estudo.



Figura 1.2: Representação esquemática do sítio de interesse e suas zonas de ruído conforme o PBZR simplificado.

As dimensões do PPSit e da área física correspondente são, respectivamente, de 3.200 m x 500 m e 2.800 m x 500 m. O Apêndice *Dimensionamento do Sítio* contém o memorial de dimensionamento do PPSit para o caso em análise, bem como as análises meteorológicas associadas. As dimensões do PPSit não contemplam a inclusão de estruturas adicionais, como centros de distribuição, hotéis ou o porto seco mencionado durante a visita. Caso tais instalações estejam previstas ou sejam esperadas no desenvolvimento do projeto, será crucial destinar uma área extra para elas no espaço reservado ao aeroporto.

1.3 Contexto Geográfico de Rio Claro

Rio Claro (RC) é um município do estado de São Paulo, criado pela Lei Estadual n.º 975 de 20 de dezembro de 1905. Faz parte da Região Geográfica Imediata de Rio Claro, que inclui os municípios de Analândia, Corumbataí, Ipeúna e Santa Gertrudes, além de Rio Claro. Está localizado nas coordenadas 22°24'39"latitude sul e 47°33'39"longitude oeste. A cidade está situada a aproximadamente 40 km de Piracicaba, 85 km do Aeroporto Internacional de Viracopos em Campinas, cerca de 195 km do Aeroporto de Congonhas (CGH), 210 km do Aeroporto Internacional de Guarulhos (GRU) e a 173 km da capital, São Paulo. Dentro de um raio de 30 km, o município alcança 15 cidades importantes, constituindo-se como um importante polo de conexões e mobilidade socioeconômica na região.

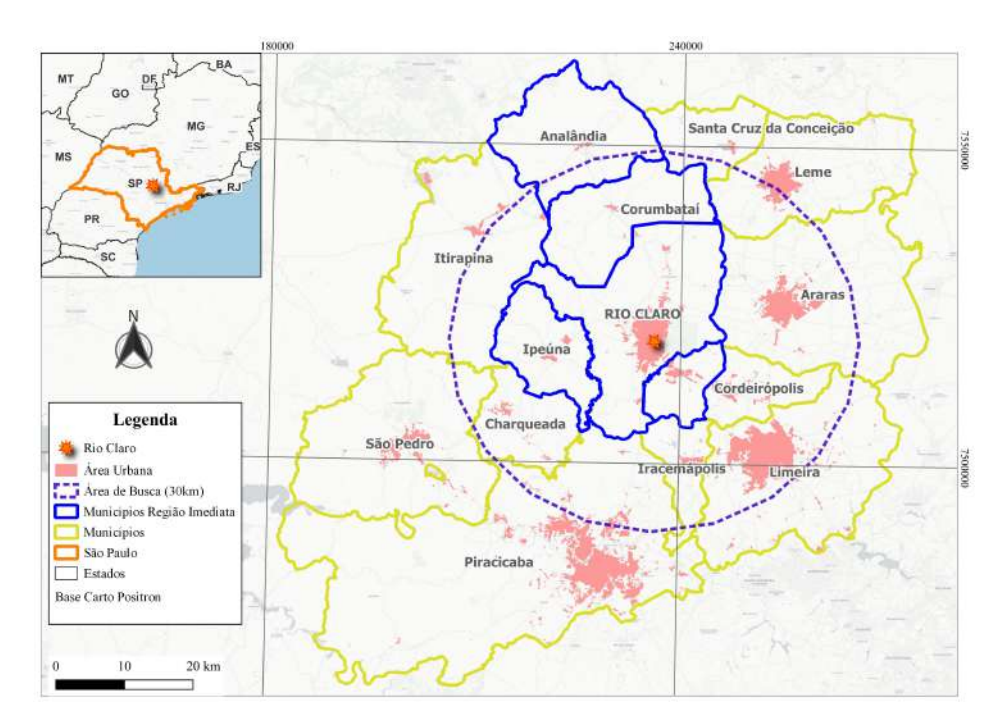


Figura 1.3: Inserção regional do município de Rio Claro

O território de Rio Claro abrange uma área de 498,422 km² e está a uma altitude média de 610 metros. Possui uma população de 201.418 habitantes, estando atrás de Piracicaba (com cerca de 430 mil habitantes) e Limeira (com quase 300 mil habitantes), e apresenta uma densidade populacional de 404,11 hab./km².

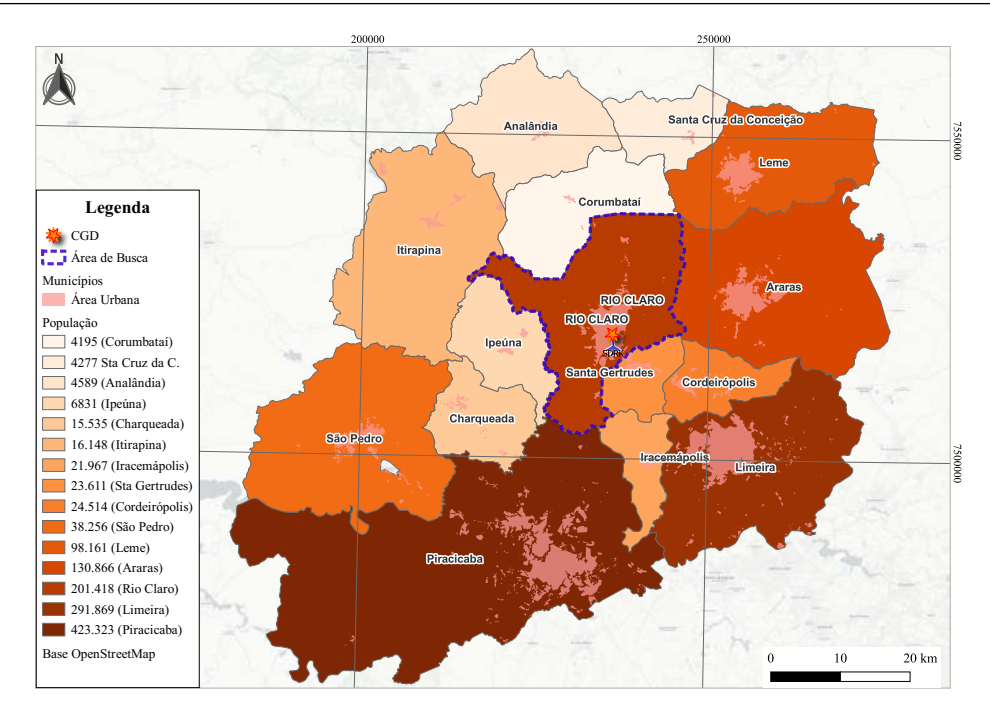


Figura 1.4: População de Rio Claro em relação às cidades no raio de 30 km

O município é caracterizado por um clima tropical de altitude, contendo biomas de cerrado e mata atlântica. A temperatura média é de 20,3°C e a pluviosidade média anual é de 1.294 mm. A Figura 1.5 esquematiza os valores de precipitação e temperatura anuais para o município de Rio Claro.

A vegetação natural ocupa 3,7% da área total do município, enquanto que as áreas de reflorestamento correspondem a 7,3%, localizadas principalmente em zonas de conservação e proteção ambiental. Os principais pontos turísticos incluem o Horto Florestal, que atualmente serve como museu do eucalipto e é considerado o maior ponto turístico da cidade, bem como o Lago Azul, que possui uma área aproximada de 130 mil m². A hidrografia do município é dominada pela bacia do Corumbataí, que além de ser a principal fonte hidrográfica, compreende outras 17 microbacias que drenam a região. A Figura 1.6 mostra as características ambientais do município de Rio Claro.

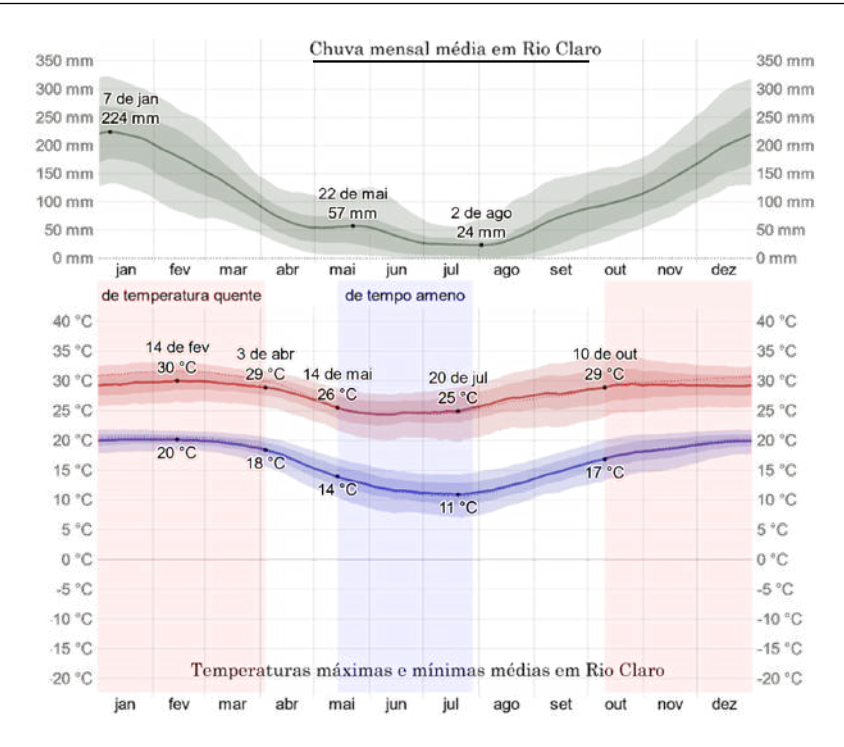


Figura 1.5: Valores de precipitação e temperatura em Rio Claro. Fonte: WeatherSpark.com

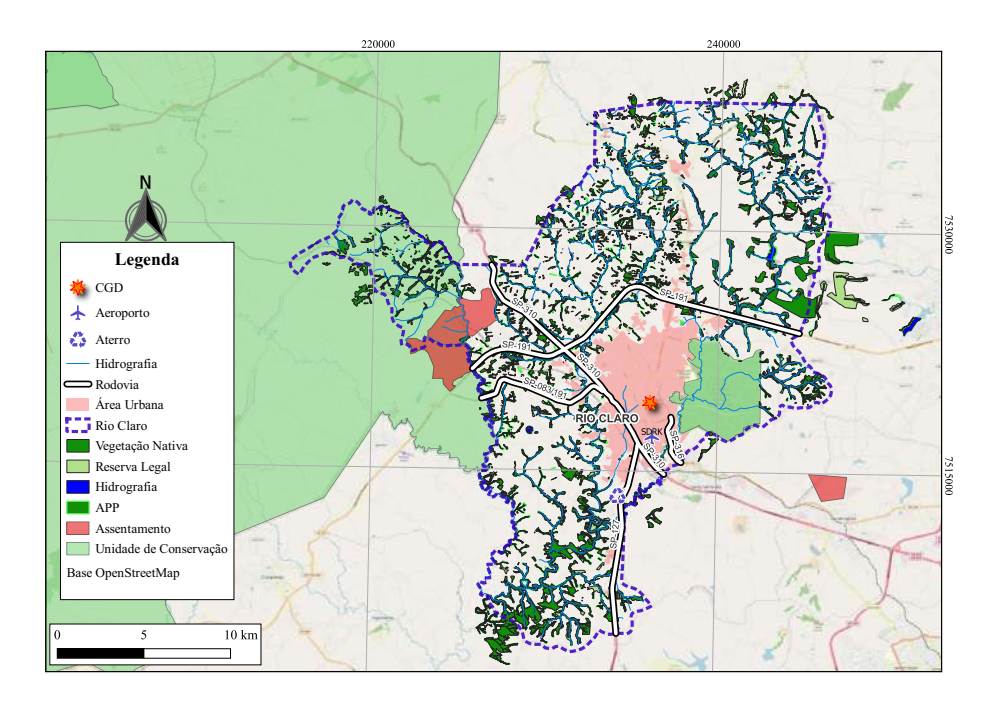


Figura 1.6: Características ambientais de Rio Claro

Quanto à topografia, o município apresenta um relevo predominantemente composto por colinas baixas e formas suaves, com pequenas variações de altitude. Situa-se na depressão periférica

paulista, na região do médio Tietê. As áreas de maior altitude são localizadas na região nordeste. A Figura 1.7 apresenta a topografia da área de estudo em Rio Claro.

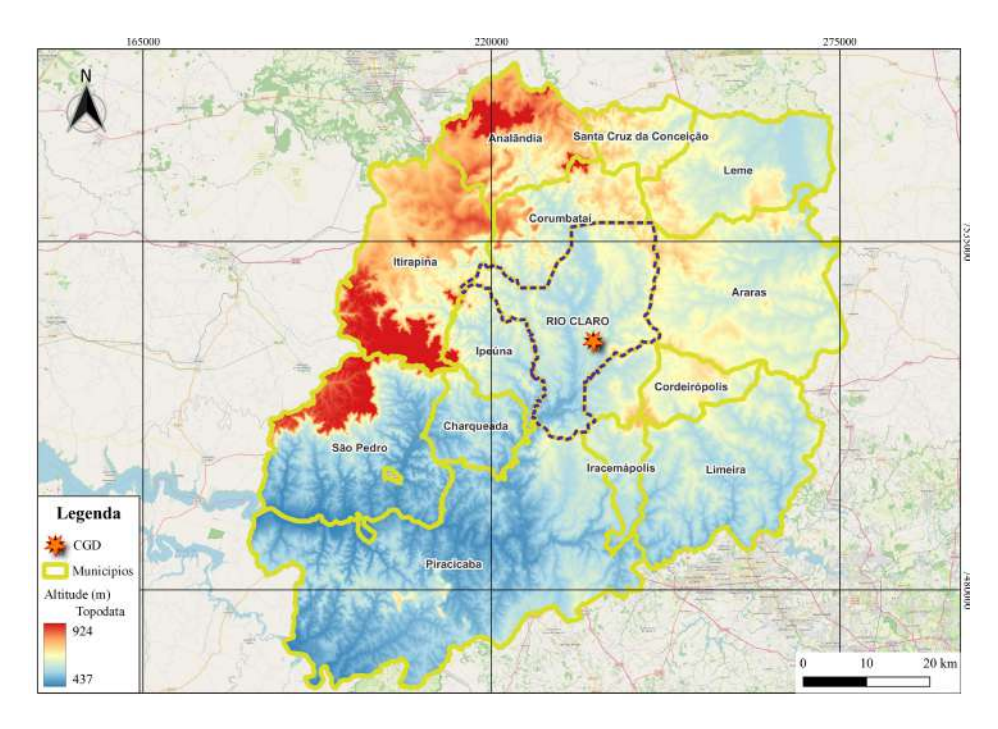


Figura 1.7: Topografia de Rio Claro (área de estudo)

O município é servido por quatro rodovias principais: a Rodovia Fausto Santo Mauro (SP-127), que conecta Rio Claro a Piracicaba; a Rodovia Wilson Finardi (SP-191), que liga Rio Claro a Araras e proporciona acesso à região de Ribeirão Preto; a Rodovia Washington Luís (SP-310), a mais importante para o município, duplicada, que faz conexão com o sistema Anhanguera-Bandeirantes em direção à capital, São Carlos, Araraquara e São José do Rio Preto; e a Rodovia Constante Peruchi (SP-316), que interliga Rio Claro a Santa Gertrudes e Cordeirópolis.

1.4 Contexto Econômico de Rio Claro

Em 2021, o PIB de Rio Claro totalizou R\$ 13.245.335.958,00 (treze bilhões, duzentos e quarenta e cinco milhões, trezentos e trinta e cinco mil, novecentos e cinquenta e oito reais), enquanto o PIB per capita alcançou R\$ 63.209,08 [5]. A prestação de serviços é a principal fonte econômica. A indústria ocupa o segundo lugar na economia municipal, com destaque para a produção de itens cerâmicos e próteses. Juntamente com as cidades de Santa Gertrudes, Limeira, Cordeirópolis, Ipeúna, Piracicaba e Araras, forma o maior polo cerâmico das Américas. Outras indústrias significativas incluem a fabricação de tubos de PVC, produtos químicos, metalurgia e fibra de vidro. O setor agropecuário, focado principalmente na produção de cana-de-açúcar e laranja, ainda representa a menor parcela do

PIB, com apenas 0,85%. A Tabela 1.2 apresenta os dados econômicos principais do município.

Tabela 1.2: Indicadores Econômicos - Brasil 2021

Indicador	Valor (R\$ ×1000)	%
PIB a preços correntes	R\$ 13.245.335,96	100,00%
1. Impostos, líquidos de subsídios,	R\$ 2.174.901,55	16,42%
sobre produtos		
2. Valor adicionado bruto a preços	R\$ 11.070.434,41	-%
correntes		
2.1 Agropecuária	R\$ 112.216,84	0,85%
2.2 Indústria	R\$ 4.767.917,62	36,00%
2.3 Serviços - Exclusive Admi-	R\$ 5.155.244,74	38,92%
nistração, defesa, educação e saúde		
públicas e seguridade social		
2.4 Administração, defesa, edu-	R\$ 1.035.055,22	7,81%
cação e saúde públicas e seguridade		
social		

Nota: Dados de 2021. [5]



2. REDUÇÃO DA ÁREA DE BUSCA

Neste Capítulo:

- Área Inicial de Busca.
- Redução da Área.
- Consideração de Sítios indicados em estudos prévios.
- Identificação dos sítios potenciais.
- KMLs dos sítios potenciais: Acesse aqui

2.1 Área Inicial de Busca

Conforme os requisitos estabelecidos para o estudo, foi considerado o município de Rio Claro.

2.2 Redução da Área

A partir da Região Inicial de Busca, eliminam-se áreas inadequadas utilizando informações do Banco de Dados Geográficos (BDG) e um conjunto de critérios eliminatórios, conforme ilustrado na Figura 2.1. Este processo resulta na assim chamada Região de Busca.

Os critérios de redução de área aplicados foram os seguintes, conforme estipula o Manual da SAC [7]:

- ESP: O afastamento do atual Aeroporto não foi considerado (B).
- URB: Áreas de aglomeração urbana foram eliminadas (C).
- AMB: Unidades de conservação e áreas contíguas de mata nativa foram eliminadas com

base nos dados do MapBiomas. Áreas de hidrografia também foram excluídas, reduzindo significativamente a região de estudo (D).

- PER: Utilizaram-se dados de áreas sensíveis a aeroportos do Instituto Chico Mendes; no entanto, não resultaram na redução da área de busca. Efeitos relacionados ao aterro foram desconsiderados para não inviabilizar a prospecção (E). Como evidenciado pelo mapa da Figura 2.2, o atual aterro sanitário inviabilizaria todos os sítios da subárea sul.
- INF: Áreas próximas às rodovias (faixa de domínio) foram eliminadas (F).
- IMP: Áreas de assentamentos foram eliminadas (G).

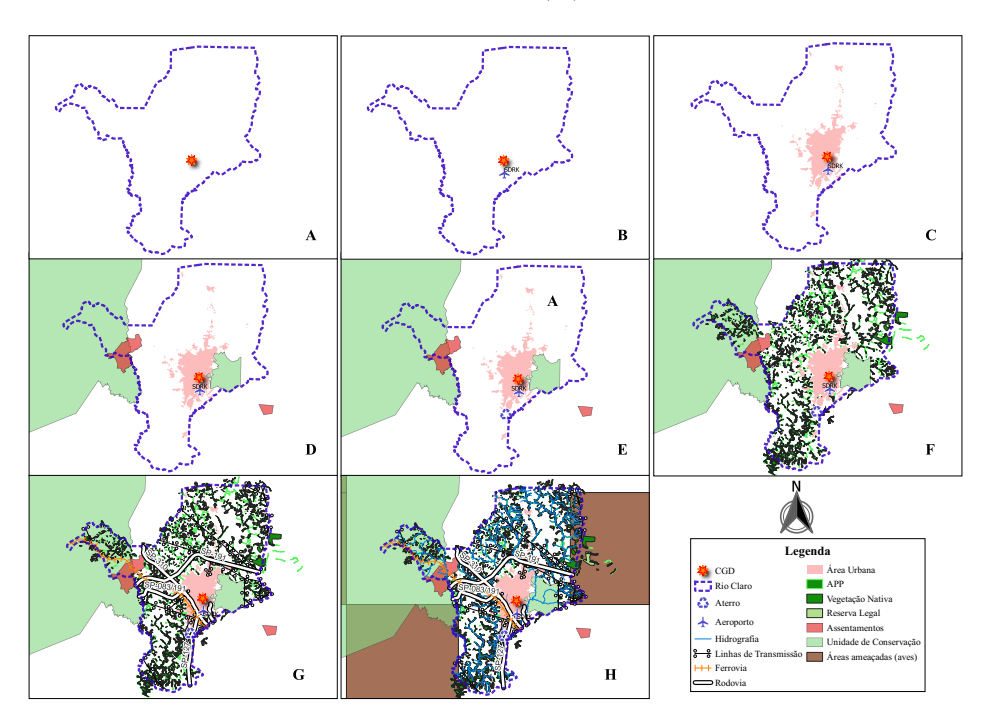


Figura 2.1: Processo de eliminação de áreas

2.3 Identificação de Sítios de Interesse

A área de busca foi dividida em duas subáreas, Norte e Sul, com o objetivo de maximizar a exploração espacial das possibilidades locacionais. A equipe ITA identificou inicialmente 12 opções, conforme apresentado na Figura 2.2. A Tabela 2.1 detalha as razões pelas quais alguns sítios foram excluídos ou adaptados e posteriormente renomeados conforme a codificação S-X-Y. O Apêndice *Análises de Obstáculos* apresenta mais informações sobre os obstáculos que foram estudados em escritório, seja por modelos ou análise manual de imagens satelitais.

Além disso, um estudo prévio, detalhado no Apêndice Sítio Indicado por Estudos Prévios, foi considerado para a identificação de áreas. O sítio mencionado possui uma orientação de

aproximadamente 30 graus em relação ao norte verdadeiro, o que contraria os resultados do estudo anemométrico apresentados no Apêndice *Dimensionamento do Sítio*. Curiosamente, esse sítio parece ter sido ajustado para se encaixar nos limites municipais de Rio Claro, embora a vizinhança não permita um alinhamento do PPSit desejado dentro destes limites, respeitando simultaneamente os critérios de vento e ocupação do solo. A Figura 2.3 mostra que a área adotada é consideravelmente menor do que as dimensões requeridas pelo PPSit. Por outro lado, a Figura 2.4 revela que uma tentativa de ajustar a localização às restrições anemométricas e aos limites municipais resultaria na invasão de áreas de vegetação nativa e de pequenas propriedades, o que acarretaria problemas ambientais e sociais significativos. A Figura 2.5 ilustra o perfil da pista para um sítio que atende ao estudo anemométrico e às dimensões do PPSit, na simulação *S-0-1-B*. A variação altimétrica na área física, ao longo do eixo central, é de cerca de 68 m, com um gradiente efetivo de aproximadamente 2,4%, o que demandaria um esforço considerável de terraplanagem. Ademais, a adoção desta área reduziria a cota média do sítio de 637 m (*S-0-1*) para 609 m (*S-0-1-B*). Como resultado, um linhão a oeste emergiria como um obstáculo significativo à superfície horizontal interna, como é evidente ao comparar a Figura 2.6 com a Figura 2.7.

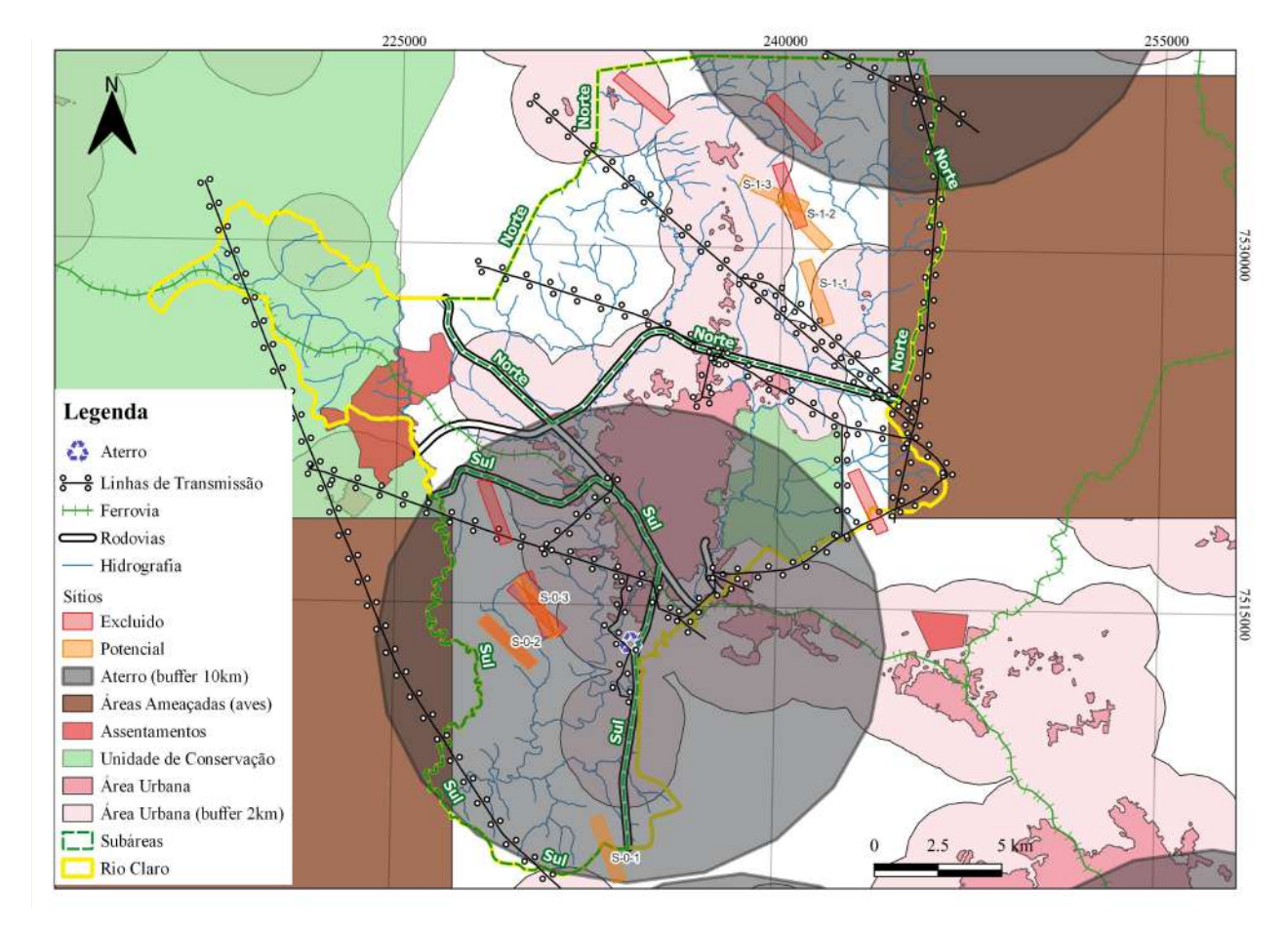


Figura 2.2: Sítios identificados pela equipe ITA.

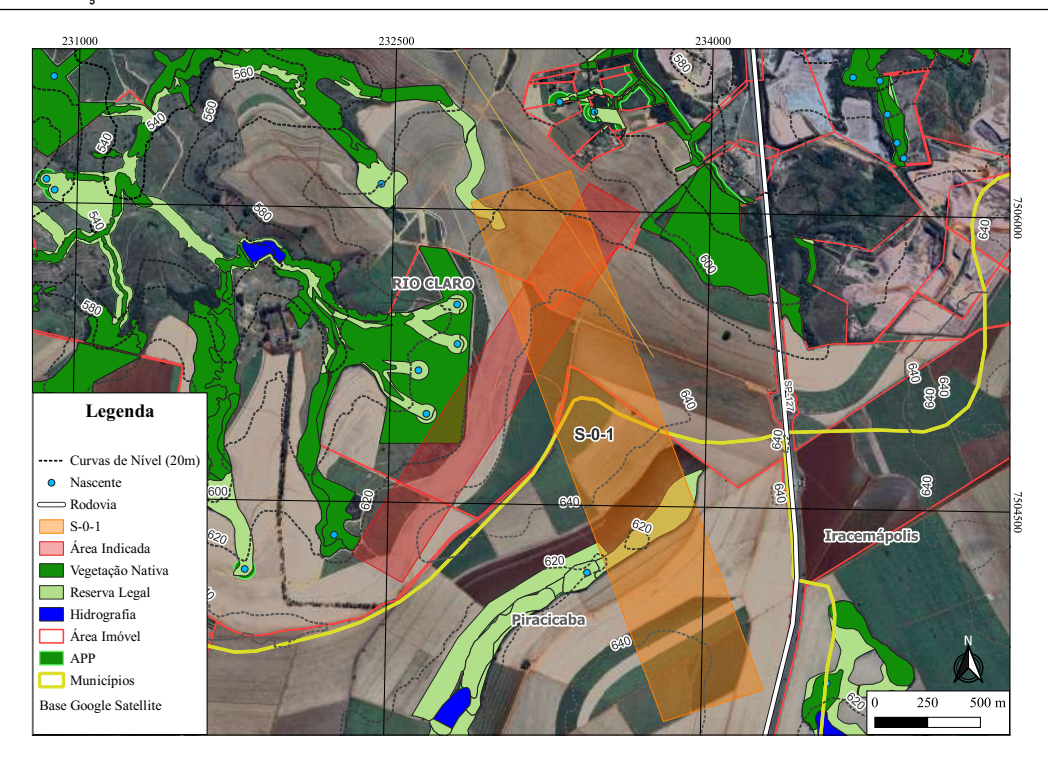


Figura 2.3: O sítio indicado não comporta a infraestrutura mínima. Coordenadas centrais do sítio S-0-1: 233580E,7504804N.

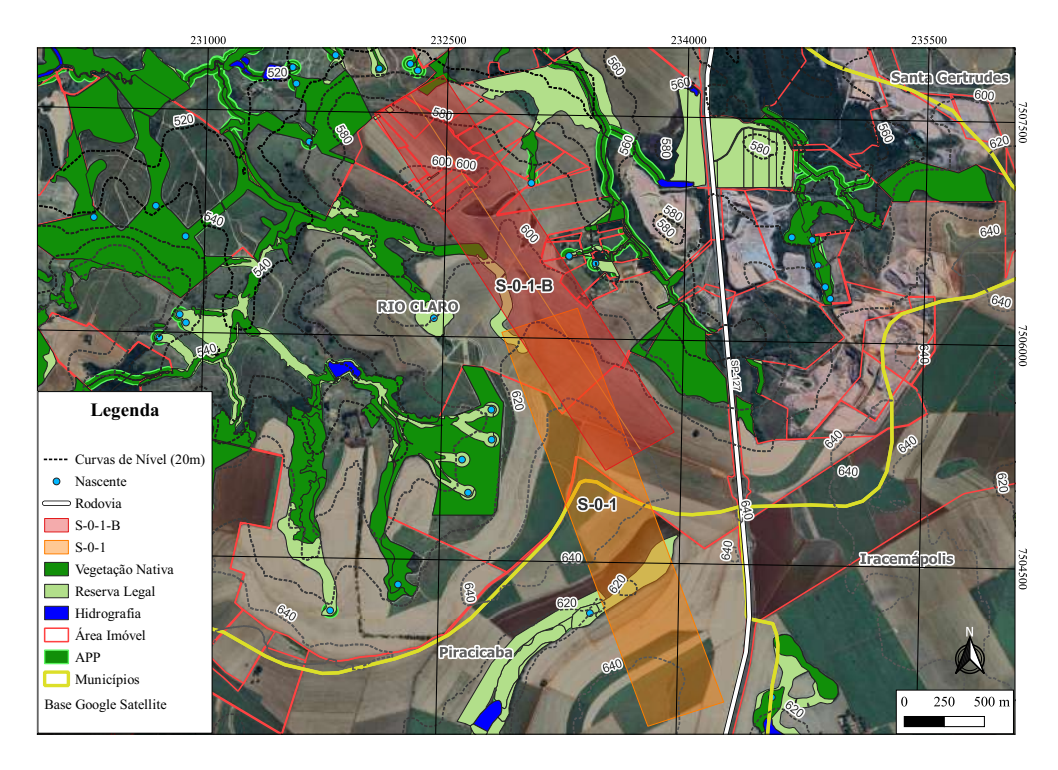


Figura 2.4: Simulação de encaixe do sítio nos limites do município de Rio Claro. Coordenadas centrais do sítio S-0-1-B: 233000E,7506438N.



Figura 2.5: Perfil longitudinal de elevação do sítio S-0-1-B. Fonte dos dados altimétricos: Topodata

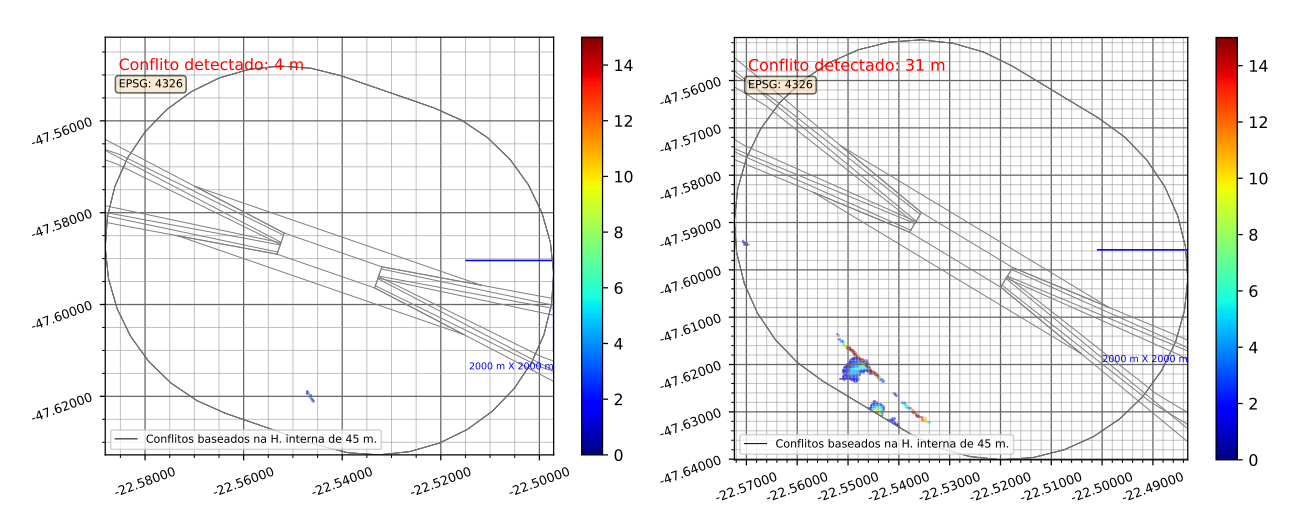


Figura 2.6: S-0-1: Obstáculos à superfície horizontal interna

Figura 2.7: S-0-1-B: Obstáculos à superfície horizontal interna

Tabela 2.1: Sítios identificados*

Nome	E	N	Orientação	Status	Observações
1	243546	7519477	155	excluído	Cortado por linhão
2	234455	7536185	131	excluído	Fica em um vale. Possui obstáculo com
					terreno
3	228889	7518829	160	excluído	Cortado por linhão
4	230630	7514983	160	excluído	Linhão cortando a superfície de aproxima-
					ção
5	230614	7514780	133	excluído	Obstáculo na aproximação. Virou S-0-3 após rotação
6	233311	7504934	160	excluído	Foi convertido no S-0-1
7	229495	7513394	134	excluído	Linhão cortando a horizontal interna. Foi
	22) 198	,61557.	13 1	Cherara	convertido no S-0-2
8	240370	7535289	137	excluído	Obstáculo com terreno
9	240267	7532202	160	excluído	obstáculo com terreno ao final da superfí-
					cie de aproximação
10	241394	7528162	160	excluído	Convertido em S-1-1
11	240855	7531044	137	excluído	Convertido em S-1-2
12	239848	7532588	99	excluído	Convertido em S-1-3 após rotação
S-0-1	233580	7504804	160	potencial	-
S-0-2	229495	7513394	134	potencial	-
S-0-3	230628	7514855	148	potencial	-
S-1-1	241394	7528162	160	potencial	-
S-1-2	240855	7531044	137	potencial	-
S-1-3	239648	7532253	114	potencial	-

^{*}As coordenadas referem-se ao centro geométrico do sítio (UTM, SIRGAS 2000).

O próximo Capítulo apresenta o estudo de campo dos 6 sítios potenciais relacionados.



3. TRABALHO DE CAMPO

O estudo de campo foi conduzido entre 5 e 6 de março de 2024, por meio de uma colaboração entre a equipe do ITA e a equipe da SAC, com apoio da Prefeitura Municipal de Rio Claro. A equipe técnica foi dividida em dois grupos: *scan* e *focal*. O grupo *scan* focou na avaliação geral do sítio, vizinhanças e acessos, enquanto o grupo *focal* concentrou-se no exame detalhado do interior do sítio, incluindo a coleta de uma pequena quantidade de material e a realização de ensaios DCP, conforme detalhado no Apêndice *Relatório Geotécnico*.

Neste Capítulo:

- Atrativos de Fauna.
- Avaliação de Potenciais Obstáculos.
- Descritivo de cada sítio.
- Fotos com drone: Acesse aqui

As análises a seguir apresentadas trazem um recorte do momento da visita, informações coletadas com pessoas da região, análises de escritório e projeções sobre possíveis cenários futuros, o que é requerido especialmente para estimativa das distâncias de acesso.

3.1 Situação dos Atrativos de Fauna

O município de Rio Claro abriga um aterro, ilustrado na Figura 2.2, localizado nas coordenadas aproximadas -22.464899° e -47.581666°. Este aterro está situado a menos de 10 km dos sítios S-0-1, S-0-2 e S-0-3. Durante a visita ao local, a equipe teve a oportunidade de conversar com a administração do aterro, que confirmou o cumprimento de todos os requisitos ambientais estabelecidos pela

CETESB e mencionou que já há um projeto aprovado para a expansão da área, com previsão de operação por mais 10 anos, além de outra área adicional que poderá ser explorada posteriormente. No dia da visita, foram observadas dezenas de urubus-da-cabeça-preta (*Coragyps atratus*), gaviões carcarás (*Caracara plancus*) e garças (*Egretta sp.* ou *Ardea sp.*), pousados sobre o lixo (Figura 3.1), além de um bando de urubus-da-cabeça-preta em voo (Figura 3.2).



Figura 3.1: Aves pousadas durante a visita ao aterro. Coordenadas: -22.464899° e -47.581666°.



Figura 3.2: Urubus sobrevoando a área do aterro

3.2 Avaliação de Potenciais Obstáculos ao Espaço Aéreo

Utilizamos a base de dados do *Open Street Map* para o levantamento de linhas de transmissão, atribuindo a estas uma altura padrão de 25 metros. As informações coletadas foram verificadas em campo, focando especialmente nos pontos críticos ao Plano Básico de Zona de Proteção de Aeródromo (PBZPA) preliminar dos sítios candidatos. Adicionalmente, empregou-se um modelo computacional para contrastar os possíveis obstáculos com o PBZPA preliminar. Esta abordagem combinada de análise de dados e verificação prática proporciona uma avaliação mais completa e eficaz do que a simples inspeção visual em campo, considerando a extensa área que necessita ser examinada ao redor dos sítios aeroportuários. A Figura 3.3 mostra a verificação dos linhões em um ponto de intersecção entre duas linhas de transmissão, enquanto o mapa da Figura 3.4 permite a análise dos obstáculos pelo modelo.



Figura 3.3: Vista in loco da intersecção entre duas linhas de transmissão. Coordenas em WGS-84, como obtido pela câmera.

A metodologia para avaliar o impacto das torres de comunicação segue uma estratégia similar à utilizada para as linhas de transmissão. Inicialmente, os dados são obtidos do repositório da ANATEL. Devido ao tempo limitado disponível para o trabalho de campo, não é possível verificar todos os objetos identificados. Contudo, eventuais torres detectadas em campo podem ser adicionadas ao Banco de Dados Geográficos (BDG). Este processo, no entanto, não se fez necessário no caso específico de Rio Claro. A Figura 3.5 apresenta uma visão abrangente dos obstáculos identificados, mostrando todos os objetos à esquerda, aqueles que interferem com as superfícies de aproximação, decolagem e transição no centro, e com a superfície horizontal interna

à direita. O Apêndice *Análises de Obstáculos* lista as torres identificadas com algum nível de interferência. A Tabela 3.1 apresenta a distribuição dos obstáculos pelos sítios.

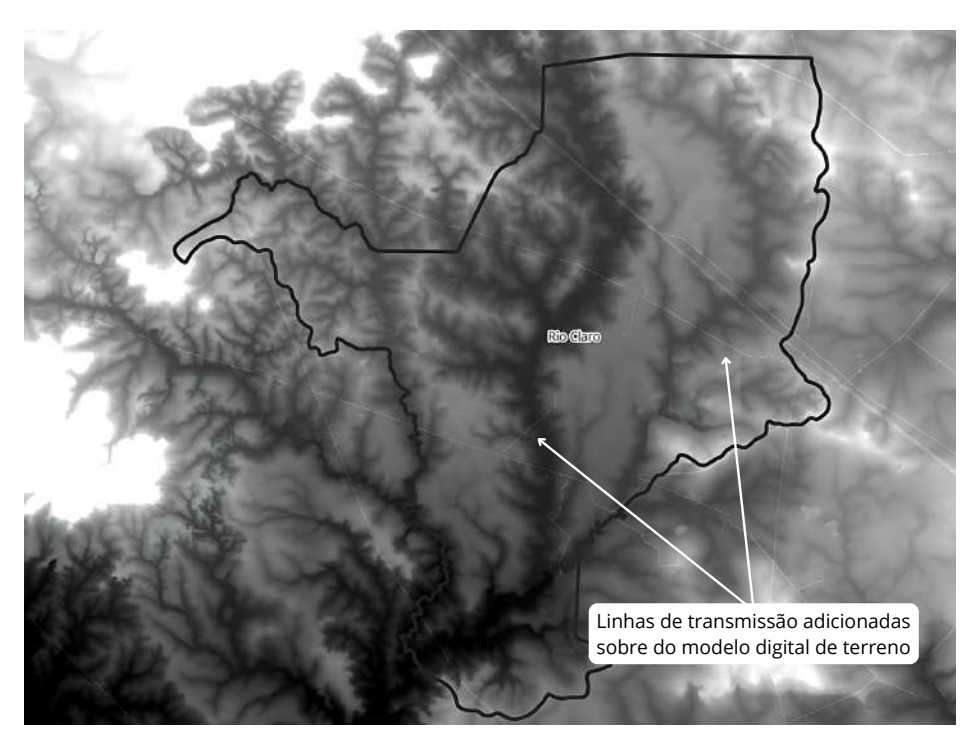


Figura 3.4: Linhões adicionados ao Modelo Digital do Terreno (MDT)

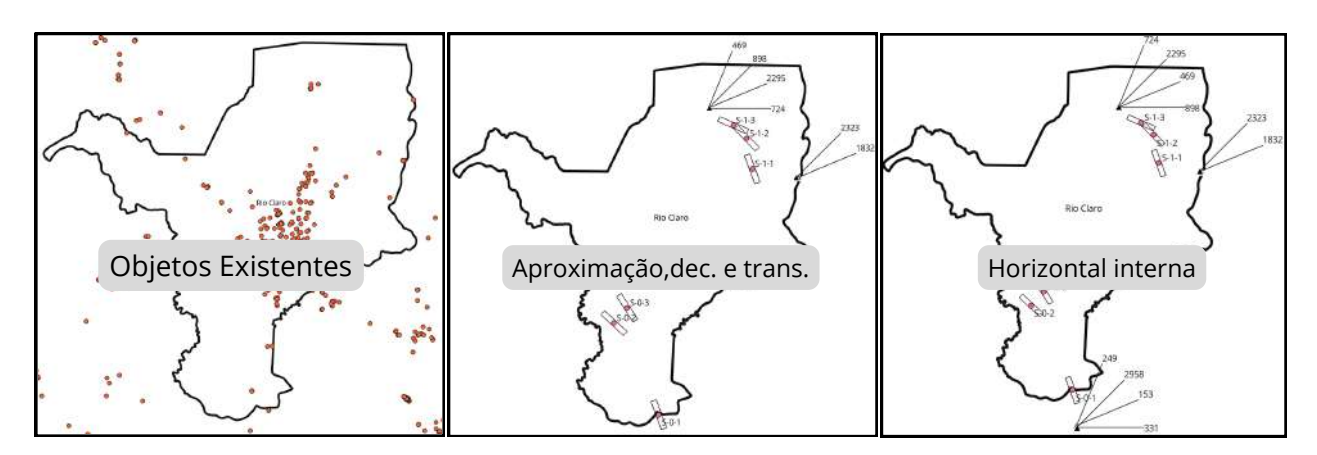


Figura 3.5: Mapa de obstáculos identificados, incluindo a influência sobre o PBZPA preliminar

Sítio	Aproximação, dec. e Transição	H. Interna	H. Externa
S-0-1		4	25
S-0-2			28
S-0-3			28
S-1-1	2	2	17
S-1-2	11	4	26
S-1-3	7	4	26

Tabela 3.1: Torres: Contagem dos obstáculos identificados

3.3 Descrição dos Sítios Visitados

A seguir são feitas as descrições dos sítios. Todos eles possuem cerca de 20 obstáculos na superfície horizontal externa. Ver Apêndice *Análises de Obstáculos*.

3.3.1 Sítio S-0-1

O sítio S-0-1 situa-se na área indicada por estudos anteriores (ver [6] e Apêndice *Sítio Indicado por Estudos Prévios*). O referido relatório anterior não inclui uma análise anemométrica, mas com base nos estudos realizados, conclui-se que a orientação adotada de aproximadamente 30° (N verdadeiro) não é adequada. Além disso, o dimensionamento da área menciona uma pista de pouso de 2,2 km, mas não considera as áreas de segurança associadas, que adicionam 600 m ao comprimento total (i.e.,faixa mais RESA para aeronaves código 4 operando IFR-NP). Após ajustes, não foi possível acomodar o sítio dentro dos limites do município de Rio Claro, conforme mapas na Seção 2.3.

Em campo, o sítio foi estudado considerando-se o estudo anemométrico corrente e as dimensões previstas para o PPSit. A Figura 3.7 apresenta a configuração do sítio. Os achados de campo são descritos na Tabela 3.2. A Figura 3.8 apresenta a vista área do sítio com representação aproximada dos limites da área física.

Tópico	Descrição
Vegetação	A área é ocupada por lavouras de cana com vias de serviço. Foi possível percorrer de carro toda a extensão do sítio.
Hidrografia	Não foram identificados cursos d'água ou nascentes cortando o sítio. As APPs situam-se nas bordas e podem ser evitadas em grande medida.
Topografia	A área possui variação altimétrica de pouco mais de 40 m.
	Continua na próxima página

Tabela 3.2: Descrição do Sítio S-0-1

Tabela 3.2 – continuação da página anterior

Tabela 5.2 – Continuação da pagina anterior		
Tópico	Descrição	
Características do Solo	Areno-Argiloso Amarelo. Classificação SC – Areias Argi-	
	losas. O % CBR variou entre 8 e 12.	
Acesso Terrestre	Adjacente à SP-127, nas proximidades de uma praça de	
	pedágio e uma alça viária. É possível que seja necessária	
	a pavimentação de um trecho de cerca de 1 km para ligar	
	a uma rodovia duplicada.	
Descrição do Entorno	O entorno é desabitado.	
Benfeitorias	Nada encontrado. Pelo CAR, foram identificadas 3 propri-	
	edades na área de desapropriação.	
Atrativos de Fauna	Situa-se a cerca de 8 km do Aterro do município.	
Obstáculos artificiais	Possui quatro obstáculos na superfície horizontal interna	
	(ver Figura 3.6).	
Obstáculos naturais	Possui obstáculos somente na superfície horizontal ex-	
	terna.	

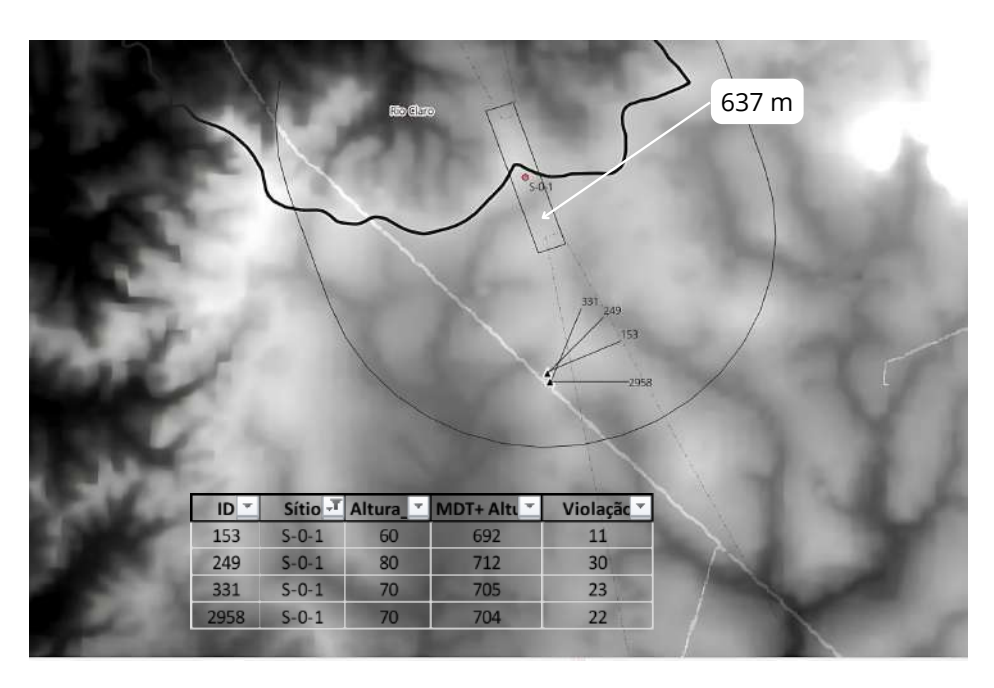


Figura 3.6: Obstáculos do sítio S-0-1



Figura 3.7: S-0-1: Mapa



Figura 3.8: S-0-1: Vista aérea

A área é ocupada por cana e o acesso é fácil pelas estradas de serviço. A Figura 3.9 e a Figura 3.10 apresentam uma visão da área a a partir do solo.

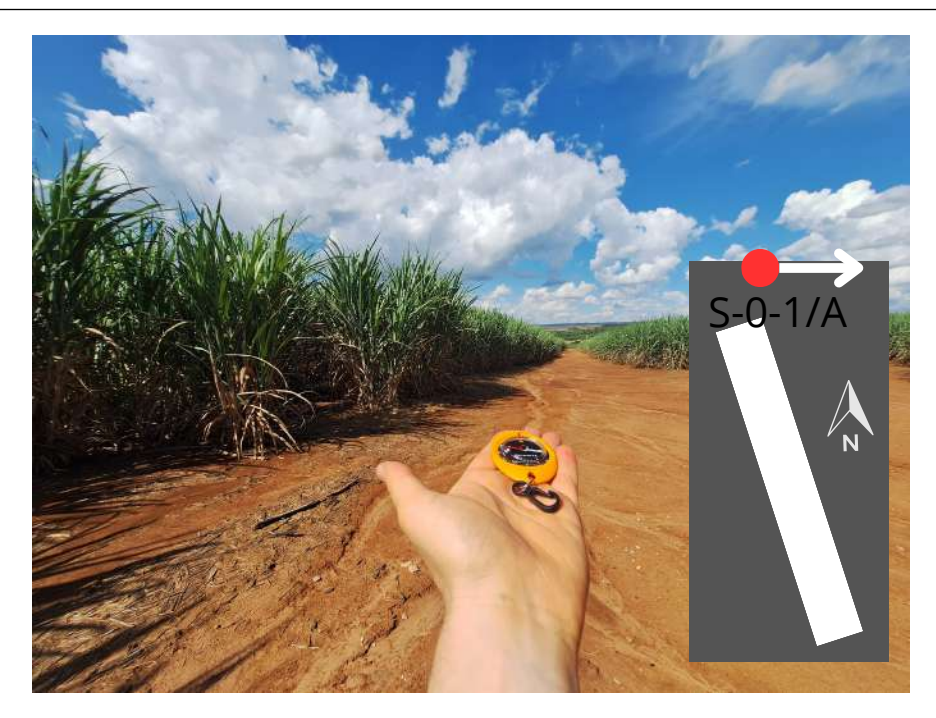


Figura 3.9: S-0-1: Foto do ponto A



Figura 3.10: S-0-1: Foto do ponto B

3.3.2 Sítio S-0-2

Os sítios S-0-2 e S-0-3, localizados próximos à área urbana de Rio Claro, apresentam intensa atividade de extração de material mineral. Essa atividade justifica as escavações visíveis na superfície e os depósitos para secagem do material ao ar livre. Também foi relatado que podem haver planos para a exploração de recursos do subsolo em áreas com ocupação agrícola na atualidade. Em caso de interesse nos sítios, é necessário verificar a situação para uma possível desapropriação dessas áreas. A Figura 3.11 apresenta a configuração do sítio S-0-2.

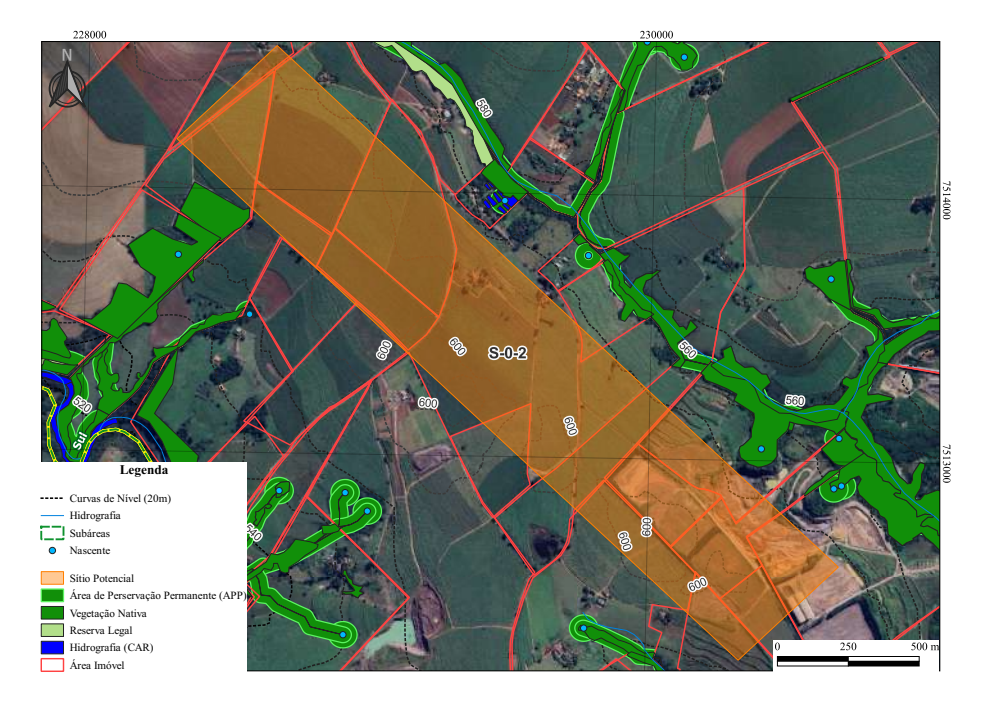


Figura 3.11: S-0-2: Mapa

A Figura 3.12 mostra uma vista panorâmica do sítio S-0-2 e a Tabela 3.3 resume os principais achados de campo.



Figura 3.12: S-0-2: Vista aérea

Tabela 3.3: Descrição do Sítio S-0-2

Tópico	Descrição
Vegetação	A área é ocupada por lavouras de cana com vias de serviço. Parte da área contém atividades de mineração. Foi possível percorrer de carro toda a extensão do sítio.
Hidrografia	Não foram identificados cursos d'água ou nascentes cortando o sítio.
Topografia	A área possui variação altimétrica de pouco mais de 30 m.
Características do Solo	Areno-Argiloso Amarelo. Classificação <i>SC – Areias Argilosas</i> . O % CBR variou entre 8 e 9.
Acesso Terrestre	O Acesso é um desafio para este sítio. São envolvidos ao menos 5 km de pavimentação, inclusive com pontes. As atividades de mineração podem exigir o desvio do tráfego. Embora seja difícil fazer uma avaliação do traçado, faz sentido conectar com a SP-127, gerando uma ligação no sentido leste-oeste.
Descrição do Entorno	O entorno é praticamente desabitado, com algumas edificações a leste.
	Continua na próxima página

Tusou etc. Communique un pagina anterior		
Tópico	Descrição	
Benfeitorias	Estima-se que duas sedes de propriedades estão na possível área de desapropriação. O número de propriedades impactadas, a julgar pelos dados do CAR é expressivo: 16.	
Atrativos de Fauna	Situa-se a cerca de 4 km do Aterro do município.	
Obstáculos artificiais	A superfície horizontal interna é perfurada por um linhão de transmissão a leste.	
Obstáculos naturais	Possui obstáculos na superfície horizontal interna e na superfície horizontal externa.	

Tabela 3.3 - continuação da página anterior

O sítio S-0-2 possui obstáculo devido a uma linha de transmissão, conforme a Figura 3.13, além de obstrução por terreno.

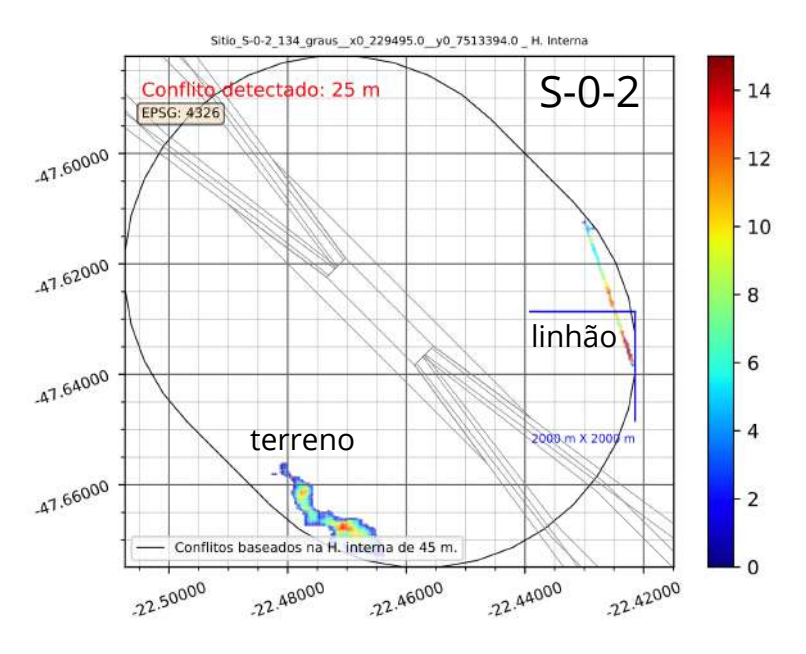


Figura 3.13: Linha de transmissão interferindo com a superfície horizontal interna no sítio S-0-2.

As imagens a seguir foram obtidas durante a visita. Na Figura 3.14 é possível ver a atividade de mineração, que ocupa parte da área, mas não inviabiliza a implantação, a julgar pelo cenário atual.



Figura 3.14: S-0-2: Foto do ponto A



Figura 3.15: S-0-2: Foto do ponto B

3.3.3 Sítio S-0-3

A Figura 3.16 apresenta a ocupação do sítio. Assim como no caso do S-0-2, há presença de atividades de mineração e um grande número de propriedades rurais, embora poucas sedes. A imagem aérea

(Figura 3.17) confirma esta percepção.

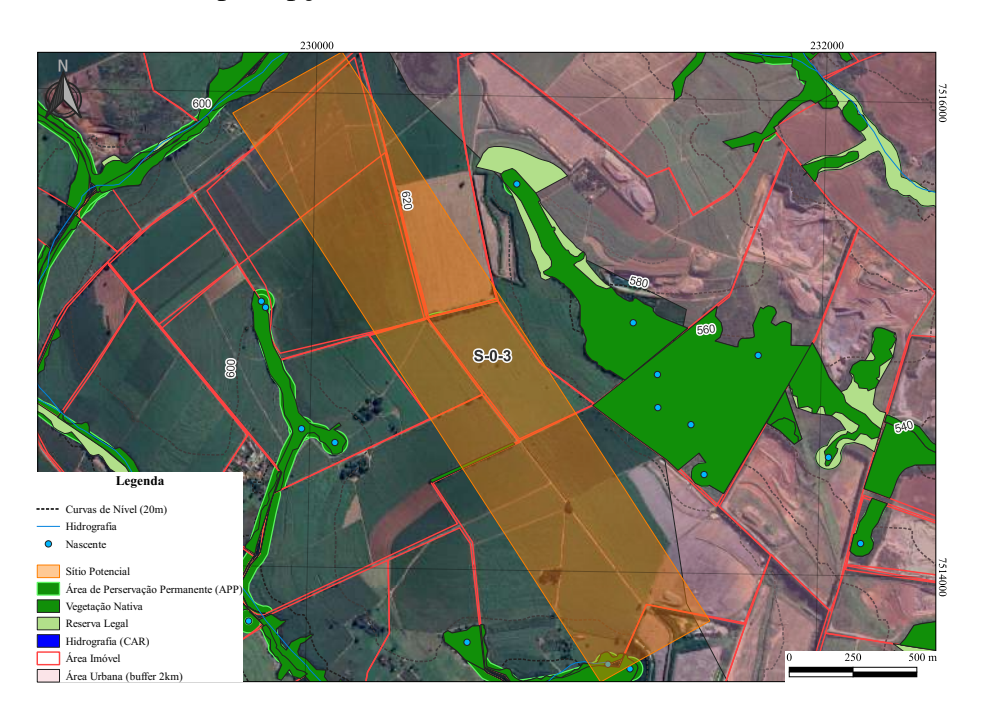


Figura 3.16: S-0-3: Mapa



Figura 3.17: S-0-3: Vista aérea

Os achados de campo são sistematizados na Tabela 3.4.

Tabela 3.4: Descrição do Sítio S-0-3

Tópico	Descrição
	•
Vegetação	A área é ocupada por lavouras com vias de serviço. Parte
	da área contém atividades de mineração. Foi possível
	percorrer de carro toda a extensão do sítio.
Hidrografia	Não foram identificados cursos d'água ou nascentes cortando o sítio.
Topografia	A área possui variação altimétrica de aproximadamente 37 m.
Características do Solo	Classificação <i>SC – Areias Argilosas</i> . O % CBR variou entre 9 e 17.
Acesso Terrestre	O Acesso é um desafio para este sítio. São envolvidos ao menos 5 km de pavimentação, inclusive com pontes. As atividades de mineração podem exigir o desvio do tráfego. Embora seja difícil fazer uma avaliação do traçado, faz sentido conectar com a SP-127, gerando uma ligação no sentido leste-oeste.
Descrição do Entorno	O entorno é praticamente desabitado, estando pouco mais de dois quilômetros da área urbana de Rio Claro.
Benfeitorias	Estima-se que duas sedes de propriedades estão na possível área de desapropriação. O número de propriedades impactadas, a julgar pelos dados do CAR é expressivo: 8.
Atrativos de Fauna	Situa-se a cerca de 3 km do Aterro do município.
Obstáculos artificiais	Nada a mencionar.
Obstáculos naturais	Apenas a superfície horizontal externa possui obstáculos mais importantes.



Figura 3.18: S-0-3: Foto do ponto A



Figura 3.19: S-0-3: Foto do ponto B



Figura 3.20: S-0-3: Foto do ponto C

3.3.4 Sítio S-1-1

Não foi possível visitar este sítio, nem sobrevoá-lo com um drone. A Figura 3.21 apresenta a configuração do sítio.

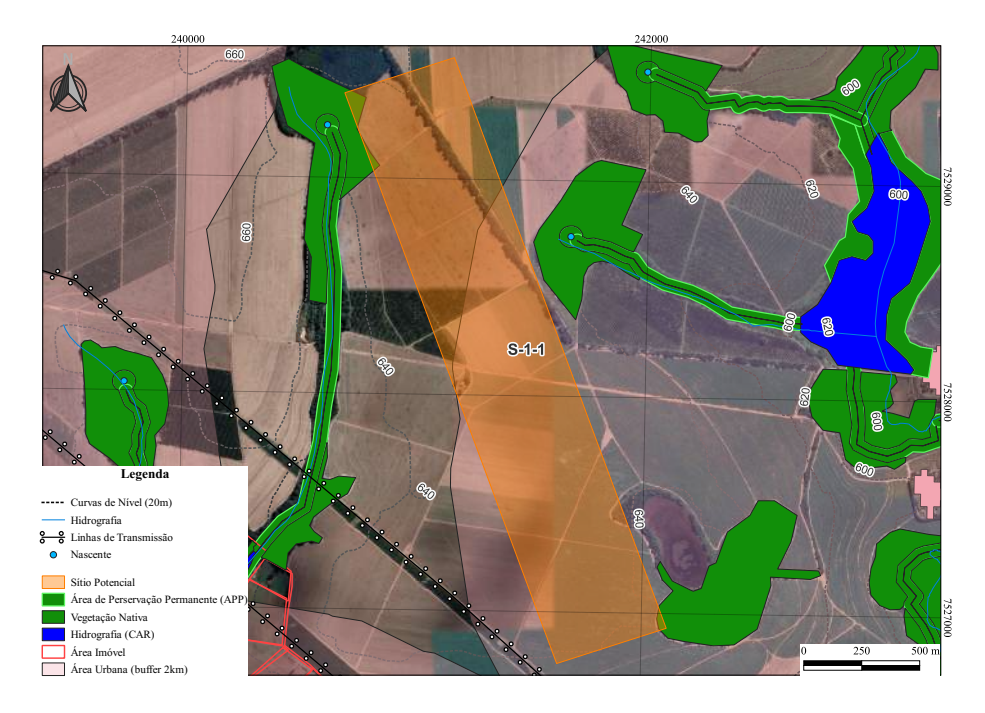


Figura 3.21: S-1-1: Mapa

3.3.5 Sítio S-1-2

A Figura 3.22 apresenta a configuração do sítio. A área é agrícola e bastante plana. Por questões de autorização, não foi possível percorrer o interior do sítio. A foto da Figura 3.23 evidencia as qualidades da área. Apesar de o PPSit cortar um corpo d'água, há folga para acomodação da PPD e suas áreas de segurança.

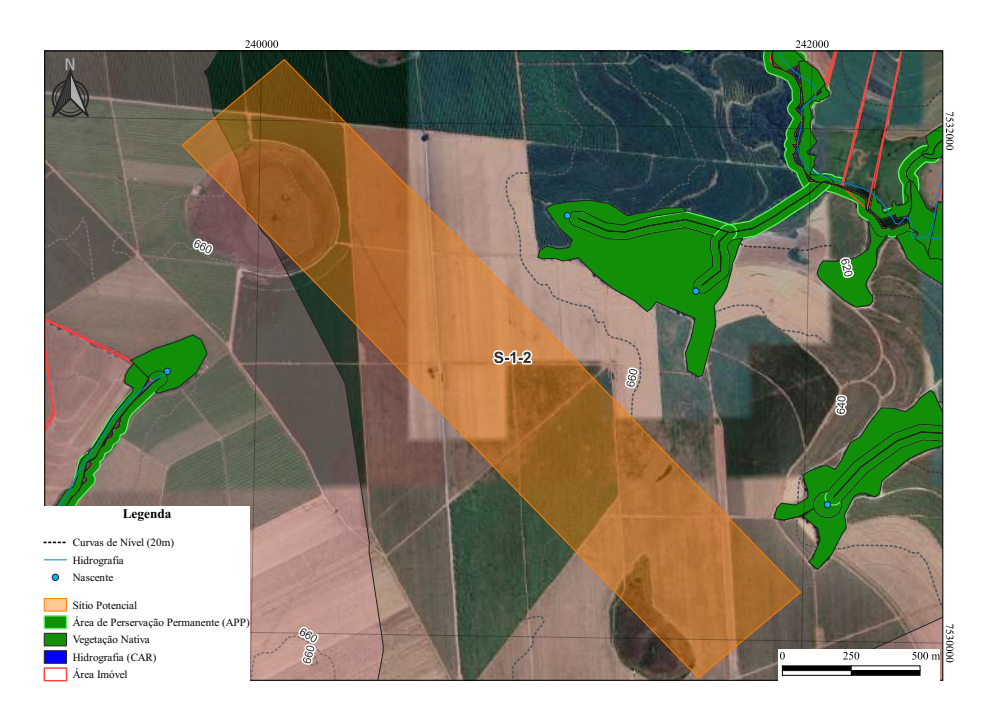


Figura 3.22: S-1-2: Mapa



Figura 3.23: S-1-2: Vista aérea

A Tabela 3.5 resume os principais achados de campo.

Tabela 3.5: Descrição do Sítio S-1-2

Tópico	Descrição
Vegetação	A área é totalmente agrícola com vias de serviço.
Hidrografia	Não foram identificados cursos d'água ou nascentes cortando o sítio. No entanto, existem na localidade alguns corpos d'água em formato circular, que ostentam uma lâmina d'água.
Topografia	A área possui variação altimétrica de menos de 30 m.
Características do Solo	Não foi possível adentrar a área. Foram coletadas amostras nas imediações. Classificação <i>SC – Areias Argilosas</i> . O % CBR variou entre 3 e 12.
Acesso Terrestre	Há uma estrada pavimentada não duplicada a cerca de 3 km em linha reta desde o centro do sítio.
Descrição do Entorno	O entorno é praticamente desabitado, distando cerca de 2 km das áreas com concentração populacional.
Benfeitorias	Nada observado. Sobreposição com um único registro no CAR
Atrativos de Fauna	Situa-se a cerca de 18 km do Aterro do município.
Obstáculos artificiais	Foram verificadas algumas torres de comunicações inter- ferindo em superfícies críticas, potencialmente exigindo remoção.
Obstáculos naturais	Possui obstáculos em diminuta porção da superfície horizontal interna a leste.

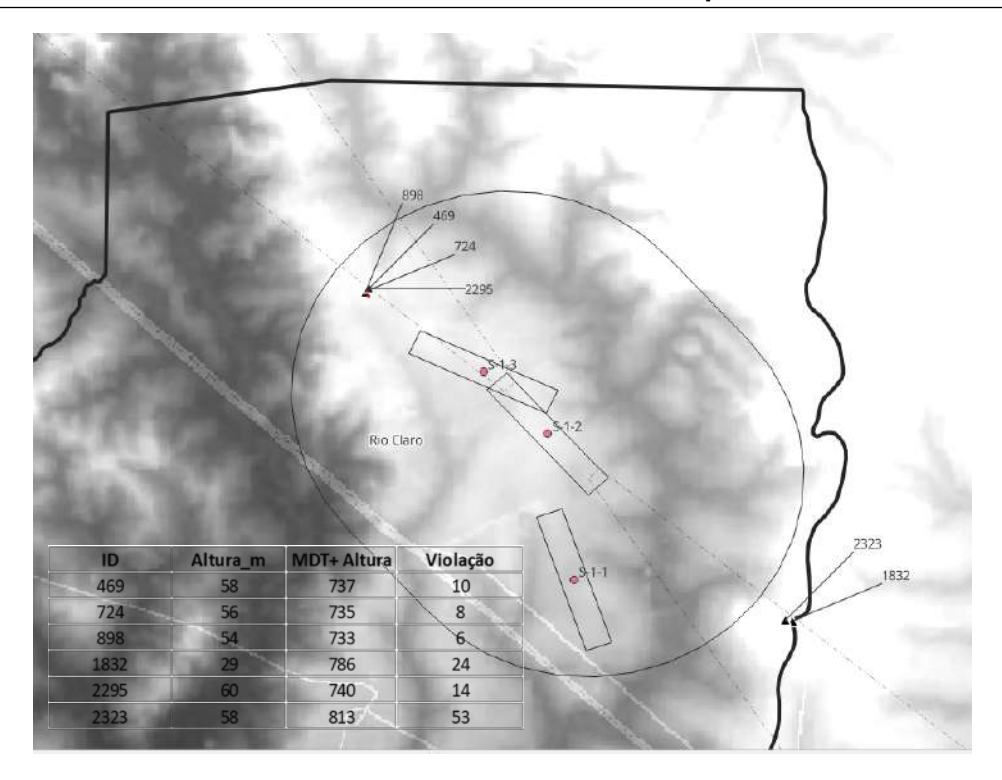


Figura 3.24: Obstáculos nas superfícies de aproximação, decolagem e transição do sítio S-1-2

3.3.6 Sítio S-1-3

A Figura 3.25 apresenta a configuração do sítio. Observa-se que a área é bastante plana e com atividades agrícolas. A imagem da Figura 3.26 apresenta a área em perspectiva.

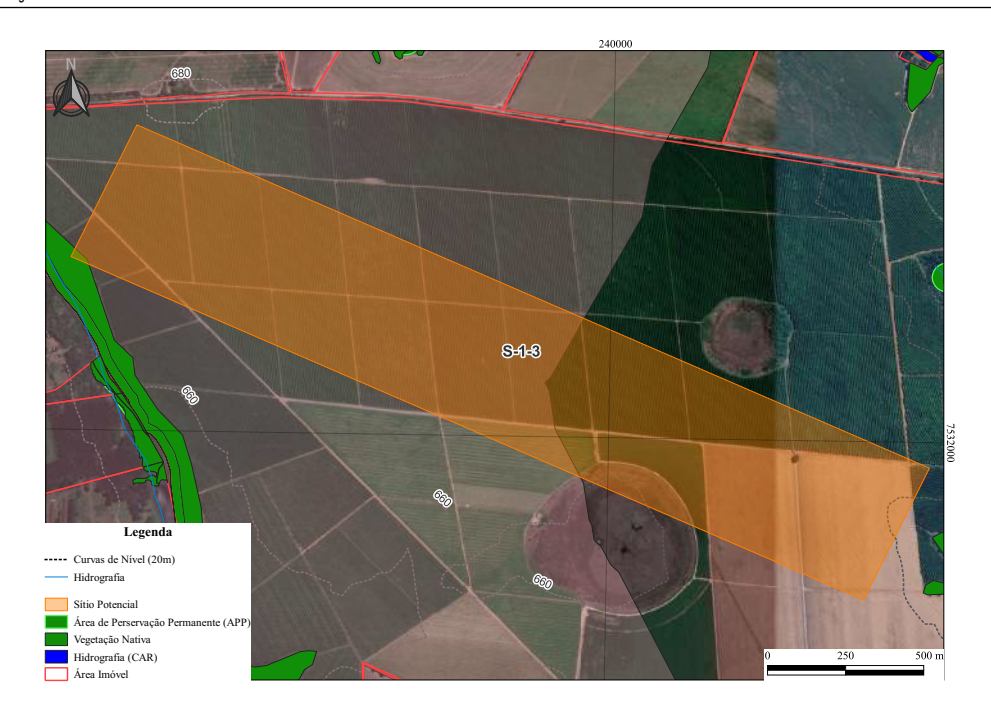


Figura 3.25: S-1-3: Mapa



Figura 3.26: S-1-3: Vista aérea

A Tabela 3.6 resume os principais achados de campo.

Tabela 3.6: Descrição do Sítio S-1-3

Tópico	Descrição
Vegetação	A área é totalmente agrícola com vias de serviço.
Hidrografia	Não foram identificados cursos d'água ou nascentes cor-
	tando o sítio. No entanto, existem na localidade alguns
	corpos d'água em formato circular, que ostentam uma
	lâmina d'água.
Topografia	A área possui variação altimétrica de pouco mais de 20 m.
Características do Solo	Não foi possível adentrar a área. Foram coletadas amostras
	nas imediações. Classificação SC – Areias Argilosas. O %
	CBR variou entre 3 e 12.
Acesso Terrestre	Há uma estrada pavimentada não duplicada a cerca de
	2 km em linha reta desde o centro do sítio. Também
	há opção de melhorar e pavimentar uma estrada existente.
	Isso aumentaria o trecho a pavimentar, mas poderia reduzir
	os custos de desapropriação.
Descrição do Entorno	Existe uma área habitada ao norte, a cerca de 400 m.
Benfeitorias	Nada observado. Sobreposição com um único registro no
	CAR
Atrativos de Fauna	Situa-se a cerca de 20 km do Aterro do município.
Obstáculos artificiais	Foram verificadas algumas torres de comunicações inter-
	ferindo em superfícies críticas, potencialmente exigindo
	remoção.
Obstáculos naturais	A superfície de aproximação encontra morros considerá-
	veis a noroeste.

Refinando-se o trabalho de escritório, percebeu-se que a superfície de aproximação é cortada por morros, conforme a Figura 3.27.

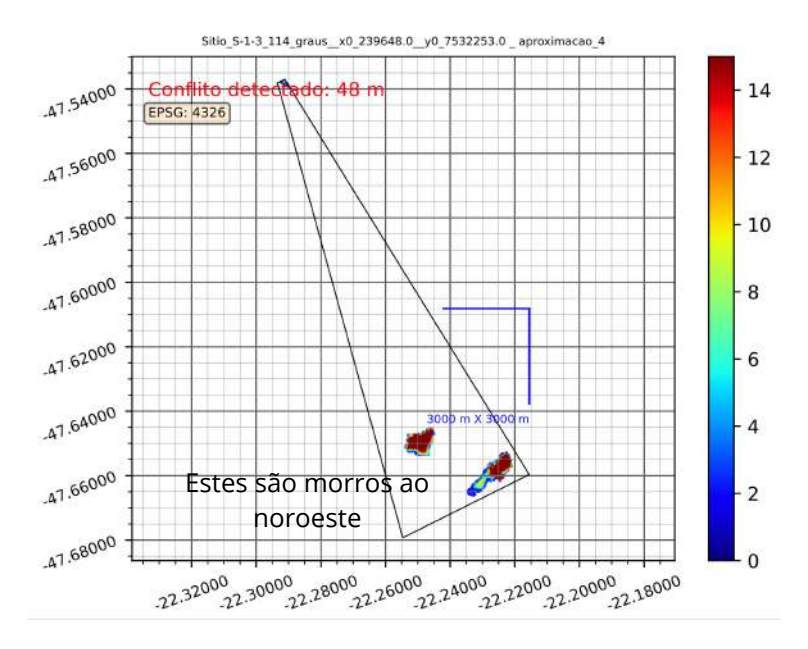


Figura 3.27: Obstáculos naturais no sítio S-1-3.



Figura 3.28: S-1-3: Foto do ponto A



4. RANQUEAMENTO DOS SÍTIOS

Neste Capítulo:

- Definição do Grupo de Especialistas.
- Metodologia de Ranqueamento dos Sítios.
- Métricas Empregadas.

Emprega-se a Análise Hierárquica de Processos (AHP) para a ponderação dos critérios classificatórios. Estes critérios são combinados com *métricas* extraídas dos trabalhos de campo e escritório realizados nos sítios candidatos, visando um processo mais objetivo. Para discussões mais detalhadas sobre o método, consulte [7].

4.1 Definição do Grupo de Especialistas

Participaram das análises especialistas do Instituto Tecnológico de Aeronáutica (ITA), totalizando seis membros, da Secretaria de Aviação Civil (SAC), com cinco membros, e da Prefeitura Municipal de Rio Claro, com dois representantes. Essa composição diversificada proporciona uma variedade de perspectivas sobre o projeto. Os especialistas foram solicitados a realizar seus julgamentos separadamente, sem conhecimento prévio das métricas dos outros avaliadores, e com acesso à razão de consistência (RC), com possibilidade de revisão.

4.2 Julgamentos dos Especialistas

A coleta de julgamentos foi realizada após a visita de campo, por meio de uma plataforma online. Cada especialista (de um total de 13) forneceu 14 julgamentos pareados, garantindo que todos os

critérios fossem comparados entre si.

Tabela 4.1: Julgamentos dos Especialistas

ESP	GEO	TOP	RUI	DIS	ACE	DIP	RC	STATUS
1	0.0426	0.0365	0.0995	0.2336	0.2939	0.2939	0.1006	ECO
2	0.0301	0.0727	0.4758	0.0462	0.1936	0.1816	0.0720	ECO
3	0.0799	0.1567	0.2548	0.2294	0.2053	0.0740	0.0617	ECO
4	0.0886	0.2224	0.2224	0.2224	0.2224	0.0219	0.0132	ECO
5	0.1180	0.1614	0.0751	0.1426	0.3900	0.1128	0.0984	ECO
6	0.0464	0.0264	0.0150	0.2517	0.5439	0.1165	0.4080	ENC
7	0.0754	0.1878	0.2111	0.1775	0.2395	0.1088	0.0775	ECO
8	0.1396	0.3770	0.0788	0.0424	0.2796	0.0826	0.0152	ECO
9	0.0313	0.4698	0.0408	0.0977	0.2434	0.1170	0.0985	ECO
10	0.1667	0.1667	0.1667	0.1667	0.1667	0.1667	0.0000	ECO
11	0.0166	0.0166	0.0534	0.1159	0.5460	0.2516	0.3981	ENC
12	0.1336	0.3091	0.0444	0.0560	0.3296	0.1273	0.0356	ECO
13	0.1584	0.4956	0.0309	0.1674	0.0896	0.0580	0.0731	ECO

Para as etapas seguintes, apenas os julgamentos consistentes (ECO) foram empregados.

4.3 Agregação Individual de Prioridades AIP

O vetor de prioridades é obtido pela média aritmética simples dos julgamentos consistentes, resultando nos pesos mostrados na Figura 4.1. Verifica-se que *ACE* e *TOP* são as variáveis consideradas mais importantes. Com isso, espera-se que sítios mais planos e com menor necessidade de construção de acessos sejam favorecidos em detrimento de outras características.

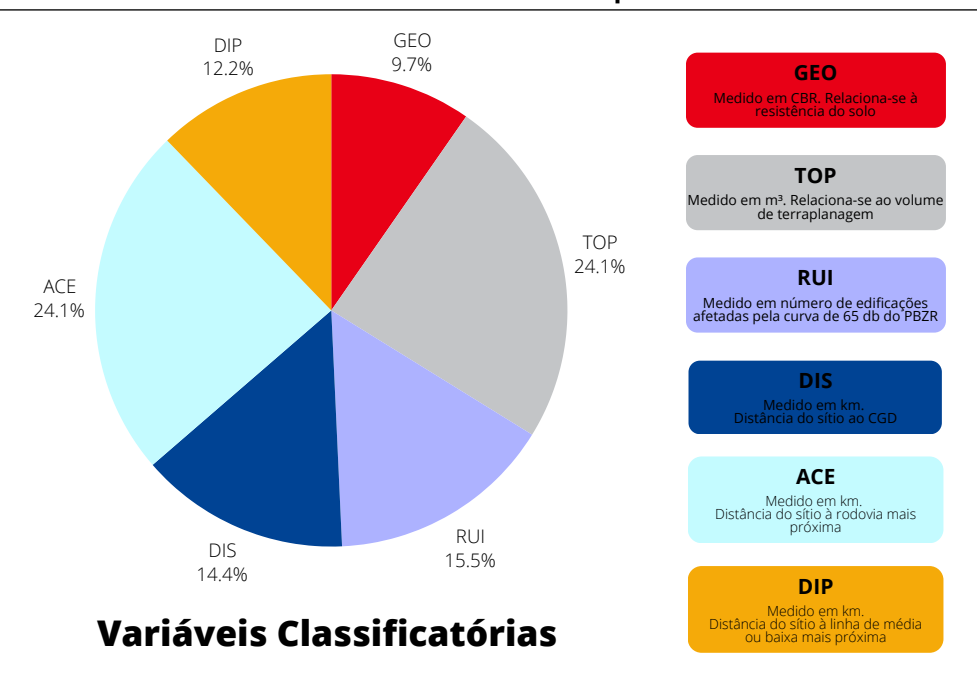


Figura 4.1: Pesos dos critérios

4.4 Métricas dos Sítios de Interesse

As métricas naturais foram obtidas de acordo com os seguintes procedimentos e dados:

- GEO: Média dos ensaios DCP realizados em campo.
- TOP: Estimativa com base na Topodata, considerando a área física.
- **RUI**: Contagem de edificações com base em imagens de satélite de alta resolução, imagens de drone e dados de campo.
- **DIS**: Distância à estrada existente + ACE. O centro de Rio Claro foi adotado como ponto de referência (CGD).
- ACE: Distância em linha reta até a rodovia mais próxima.
- **DIP**: A região possui fácil acesso à energia. Adotou-se 1000 m para todos os sítios, com exceção do sítio S-1-2 (3000 m) e S-1-3 (2000 m).

Sítio	GEO	TOP	RUI	DIS	ACE	DIP
S-0-1	9,00	2.956.852	8	18.350	550	1.000
S-0-2	13,00	855.662	14	13.850	5.050	1.000
S-0-3	12,00	1.537.104	3	12.300	4.300	1.000
S-1-2	7,50	2.739.000	1	14.950	2.750	3.000

Tabela 4.2: Métricas em sua escala natural

Continua na próxima página

7	Tabela 4.2 – continuação da página anterior					
Sítio	GEO	TOP	RUI	DIS	ACE	DIP
S-1-3	7,50	963.639	50	17.900	1.850	2.000

4.5 Ranqueamento

O tratamento das métricas com a consideração dos pesos dos critérios classificatórios leva ao ranqueamento dos sítios, de acordo com seus respectivos *scores*, apresentados na Tabela 4.3 e na Figura 4.2. Como discutido na Seção 3.3.6, o sítio S-1-3 possui obstáculos que o tornam inviável. O Apêndice *Análises AHP* pode ser consultado para análises de sensibilidade dos pesos dos critérios.

SÍTIO	SCORE
S-0-1	0.247858076793738
S-1-2	0.20683126395222
S-0-2	0.190469420256862
S-0-3	0.186080644051382
S-1-3	0.168760594945799

Tabela 4.3: Escore dos sítios

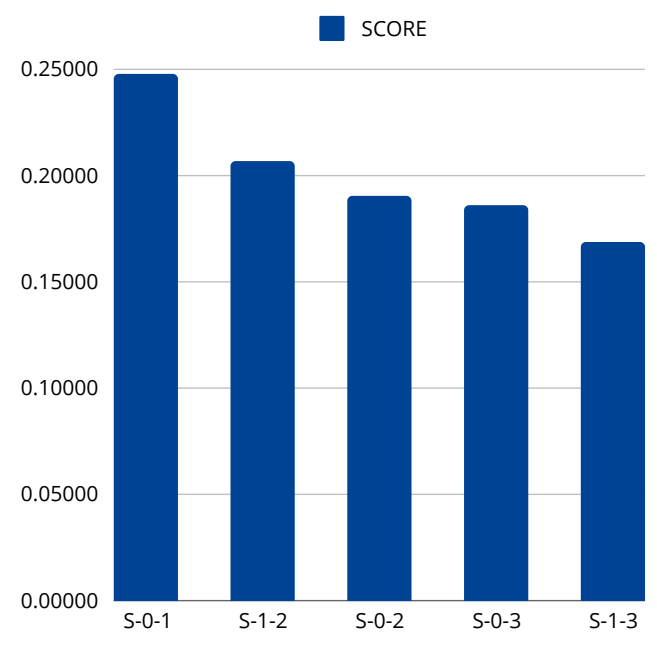


Figura 4.2: Ranking final

CONSIDERAÇÕES FINAIS

Este estudo confirma os achados da INFRAERO (INFRAERO, 2023) quanto à viabilidade da região ao sul do município (*S-0-1*). Entretanto, observam-se diferenças neste estudo quanto à orientação e dimensões. Devido à área necessária e às faixas de orientação de pista, não foi viável acomodar o sítio dentro dos limites municipais, levando a uma extensão parcial da área para Piracicaba. É importante registrar que essa questão demandará um alinhamento com o município de Piracicaba, uma vez que as desapropriações em outro município não podem ser realizadas por Rio Claro. Recomenda-se também um diálogo com a Secretaria de Aviação Civil (SAC) para discutir a formação de um consórcio entre os dois municípios, o que facilitaria as desapropriações e a celebração de um convênio de delegação.

Ainda sobre o sítio *S-0-1*, a proximidade do aterro sanitário municipal pode complicar o licenciamento ambiental. Recomenda-se a consulta ao órgão ambiental competente para clarificação dos critérios aplicáveis. Normalmente é exigida uma distância mínima de 10 km entre aeroportos e aterros. Apesar destes desafios, o sítio *S-0-1* possui vantagens, como a proximidade com Piracicaba-SP e Limeira-SP, que são centros relevantes para a geração de demanda aérea. Este sítio também oferece potencial para futura expansão, aumentando sua atratividade.

O estudo também identificou e avaliou áreas ao norte de Rio Claro, destacando-se o sítio *S-1-2* como uma área promissora, ainda que o acesso à propriedade não tenha sido possível. Sua localização dentro dos limites municipais de Rio Claro é uma vantagem. Porém, em comparação com o sítio *S-0-1*, enfrenta desafios relacionados à construção de acessos, e a rodovia mais próxima é de pista simples, o que pode limitar a conectividade com outros municípios. A demanda dos

municípios vizinhos deve ser considerada para futuras operações aeroportuárias e interesse das companhias aéreas.

Os sítios *S-0-2* e *S-0-3*, atualmente utilizados para mineração e agricultura, são considerados equivalentes entre si em termos de adequação ao uso aeroportuário. É essencial analisar a ocupação atual e planejada dos terrenos. Conforme indicado pelo Cadastro Ambiental Rural (CAR), as áreas são cortadas por diversas propriedades. Outro desafio é o acesso das áreas à rodovia, exigindo estudo prévio de traçado. Ainda, a proximidade com o aterro sanitário é preocupante, podendo levar a embaraços no processo de licenciamento ambiental.

O sítio S-1-3 foi avaliado como inviável após uma análise detalhada, devido à presença de obstáculos naturais.

Recomenda-se que, após a seleção da localização para o novo aeroporto, a autoridade municipal implemente medidas para preservar a área física e minimizar a exposição ao ruído incompatível. Também é fundamental considerar a possibilidade de futuras expansões e garantir a proteção do espaço aéreo circundante. Durante a visita, foi relatado que há um estudo sobre o desenvolvimento de um porto seco no município, o qual poderia beneficiar-se da proximidade com o aeroporto regional. Neste caso, será necessário reservar uma área adicional para o projeto, buscando o arranjo físico necessário para garantir a compatibilidade aeroportuária.



Referências

- [1] Agência Nacional de Aviação Civil (ANAC), "RBAC Nº 161 Emenda Nº 04: Planos de Zoneamento de Ruído de Aeródromos PZR", Superintendência de Infraestrutura Aeroportuária SIA, Agência Nacional de Aviação Civil, relatório técnico, mar. de 2024, Aprovado pelas Resoluções nº 202, de 28.09.2011; nº 281, de 10.09.2013; nº 571, de 08.07.2020; nº 609, de 23.02.2021; e nº 737, de 09.02.2024. Data de Emissão: 15.02.2024. Data de Vigência: 01.03.2024. URL: https://www.anac.gov.br/assuntos/legislacao/legislacao-1/rbha-e-rbac/rbac/rbac-161.
- [2] C. J. P. Alves, E. J. da Silva, C. Müller et al., "Towards an objective decision-making framework for regional airport site selection", *Journal of Air Transport Management*, volume 89, página 101 888, 2020, ISSN: 0969-6997. DOI: https://doi.org/10.1016/j.jairtraman. 2020.101888.
- [3] Boeing Commercial Airplanes, "737 MAX Airplane Characteristics for Airport Planning", Boeing Commercial Airplanes, Technical Report D6-38A004 REV H, mar. de 2023, CAGE Code 81205. Not subject to US Export Administration Regulations (EAR), (15 C.F.R. Parts 730-774)

- or US International Traffic in Arms Regulations (ITAR), (22 C.F.R. Parts 120-130).
- [4] Brasil, Diário Oficial da União. Portaria Nº 837,

 De 13 De Julho de 2021, https://www.in.
 gov.br/en/web/dou/-/portaria-n837-de-13-de-julhode-2021-331875820,
 jul. de 2021.
- [5] IBGE, Cidades e Estados Rio Claro, https://www.ibge.gov.br/ estatisticas/economicas/contasnacionais/9088 - produto - interno bruto - dos - municipios.html, Acesso em: 20 de abril de 2024, abril de 2024.
- [6] INFRAERO, "VISITA TÉCNICA: PROSPE-ÇÃO EM RIO CLARO -SP", INFRAERO Aeroportos, relatório técnico, 2023.
- [7] M. da Infraestrutura, "Manual de Apoio à Prospecção de Sítios Aeroportuários Regionais", Ministério da Infraestrutura. Brasil., relatório técnico, 2021.



Glossário

ACE Critério classificatório. Distância euclidiana (km) até rodovia pavimentada mais próxima.

AIP Agregação Individual de Prioridades.

AMB Critério eliminatório. Restrição Ambiental/Preservação de áreas: flora e fauna.

ANAC Agência Nacional de Aviação Civil.

ARC *Aerodrome Reference Code*. O mesmo que CRA.

BDG Banco de Dados Geográficos.

CBP Comprimento Básico de Pista.

CBR California Bearing Ratio.

CGD Centro Gerador de Demanda.

Conama Conselho Nacional do Meio Ambiente.

CRA Código de Referência do Aeródromo.

DCP Dynamic Cone Penetrometer.

DECEA Departamento de Controle do Espaço Aéreo.

DIM Critério eliminatório. Dimensionamento/Disponibilidade de áreas (inicial e expansões) que favoreçam adequada orientação das pistas.

DIP Critério classificatório. Disponibilidade de serviços de utilidade pública.

DIS Critério classificatório. Distância do polo gerador de demanda.

EMS Estação Meteorológica de Superfície.

EPSG European Petroleum Survey Group – Lista Espacial de Referência.

ESP Critério eliminatório. Espaço Aéreo.

FACLOC Facilitador Local.

GEO Critério classificatório. Relativo a Geotecnia – condições do solo.

Hmax_Prospecção Altitude máxima admi-

tida para a área de busca.

IFR Instrument Flight Rules.

IFR-NP Instrument Flight Rules de Não-Precisão.

IMP Critério eliminatório. Outros impactos do aeroporto sobre o meio, como aqueles sobre sítios arqueológicos, por exemplo.

IncD Fator de correção do comprimento da PPD para declividade.

IncE Fator de correção do comprimento da PPD para elevação.

IncT Fator de correção do comprimento da PPD para temperatura.

INF Critério eliminatório. Relativo à área ocupada por infraestrutura existente ou planejada.

INMET Instituto Nacional de Meteorologia.

ISA International Standard Atmosphere.

ITA Instituto Tecnológico de Aeronáutica.

MDE Modelo Digital de Elevação. Engloba MDS e MDT.

MDS Modelo Digital de Superfície.

MDT Modelo Digital de Terreno.

MESA Metodologia de Escolha de Sítios Aeroportuários Regionais.

MET Critério eliminatório. Meteorologia (cobertura de ventos).

MLW Maximum Landing Weight.

MSL Mean Sea Level.

MTOW *Maximum Take-Off Weight*. O mesmo que PMD.

OBS Critério eliminatório. Obstáculos aos planos de proteção.

OEW Operational Empty Weight.

PAA Parque de Abastecimento de Aeronaves.

PAX Passageiro(s).

PBZR Plano Básico de Zoneamento de Ruído

PD Peso de Decolagem. É menor ou igual ao PMD da aeronave.

PDIR Plano Diretor Aeroportuário.

PER Perigos na aproximação (aviário, geração de fumaça, etc.).

PEZR Plano Específico de Zoneamento de Ruído.

PMD Peso Máximo de Decolagem.

PP Peso de Pouso.

PPD Pista de Pouso e Decolagem.

PPSit Polígono Preliminar do Sítio a ser buscado.

RBAC Regulamento Brasileiro da Aviação Civil.

RESA Runway End Safety Area.

RUI Critério classificatório. Número de edificações afetadas com a operação.

SIG Sistemas de Informações Geográficas.

- **SIRGAS** Sistema de Referência Geocêntrico para as Américas.
- **TOPAlt** Critério eliminatório. Variação altimétrica no interior da área física do sítio.
- **TOPVol** Critério classificatório. Proxy para o volume movimentado de terra.
- TPS Terminal de Passageiros.
- **TRef** Temperatura de referência: média das máximas diárias do mês mais quente do ano.
- **TRef0m** Temperatura de referência transformada para o nível do mar.
- **URB** Critério eliminatório. Impacto de ruído nas áreas adjacentes ao potencial sítio e o uso solo (zoneamento urbano).
- **UTM** Universal Transversa de Mercator.



APÊNDICES



Dimensionamento do Sítio

Análise Anemométrica

A Figura A.1 apresenta a distribuição da cobertura de vento para três EMS (Estações Meteorológicas de Superfície) estudadas ao longo de um período de treze anos completos, com dados horários. Por exemplo, uma pista orientada a 40 graus do norte geográfico (verdadeiro) teria a orientação mais desfavorável de acordo com a estação meteorológica de superfície localizada no aeroporto de Campinas, com cerca de 77% de cobertura. Já a Figura A.2 apresenta o padrão de frequência dos ventos por velocidade e direção. Estes dados também podem ser vistos no formato de rosa dos ventos, conforme a Figura A.3.

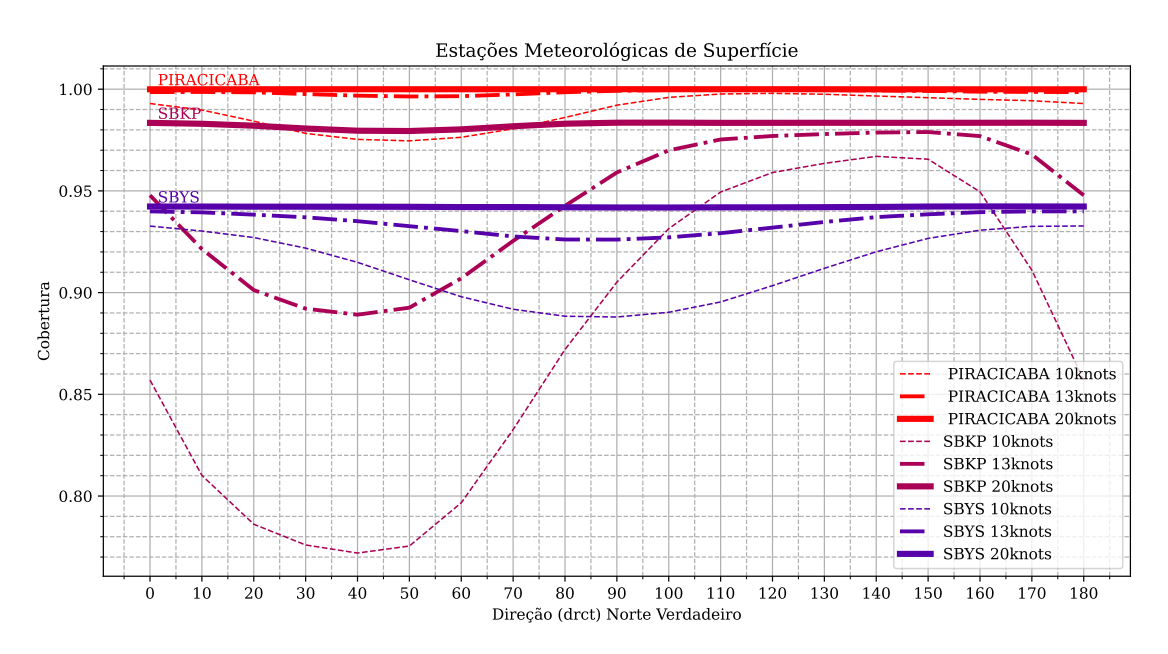


Figura A.1: Análise da Cobertura de Vento

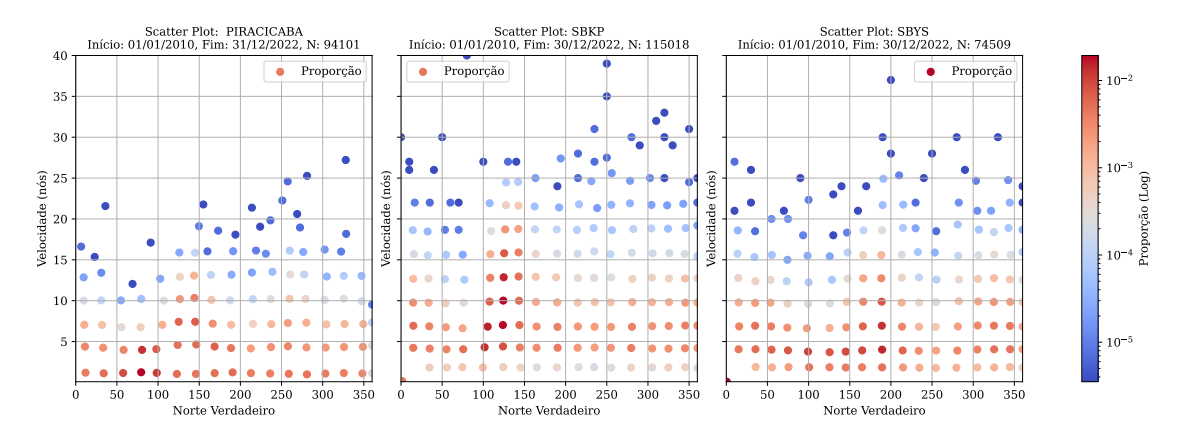


Figura A.2: Padrão de Distribuição dos Ventos

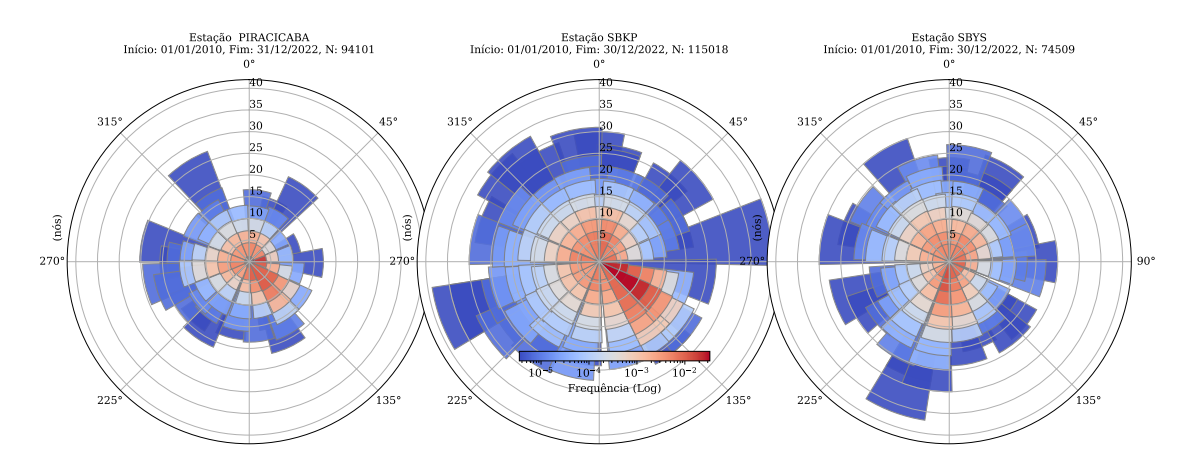


Figura A.3: Distribuição dos Ventos: formato polar

A partir dos dados analisados, conclui-se que a faixa ideal de orientação em relação ao norte geográfico situa-se entre 110 e 150 graus. No entanto, orientações entre 75 e 180 graus podem ser aceitáveis, caso existam vantagens específicas, tais como características topográficas favoráveis ou a necessidade de evitar obstáculos.

A Figura A.4 apresenta a distribuição dos aeródromos públicos localizados a uma distância de aproximadamente 1 grau, ou pouco mais de 100 km, a partir de Rio Claro. As pistas em vermelho indicam violações das faixas de orientação admissíveis, conforme análises anteriormente apresentadas. Para o mapa, a orientação das pistas foi estimada deduzindo-se a designação registrada na ANAC e ajustando-a pela declinação magnética de 22°W.

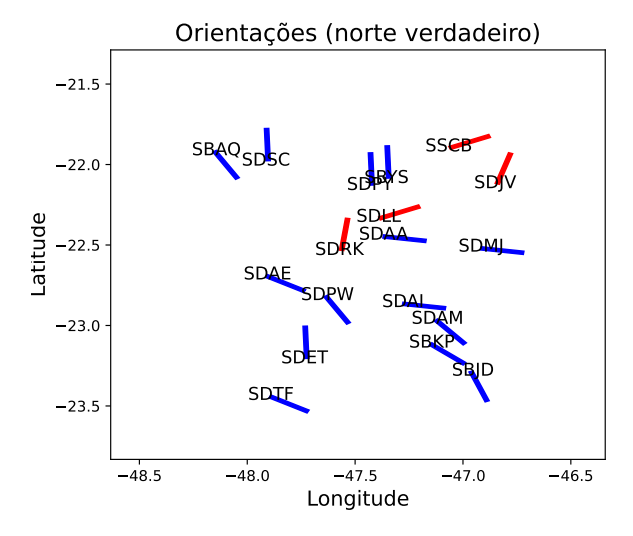


Figura A.4: Distribuição das orientações de pista na região.

A seguir são apresentadas imagens das pistas relacionadas.



Figura A.5: Pistas com orientação aproximada de norte a sul. Imagem do Google Earth via QGIS.

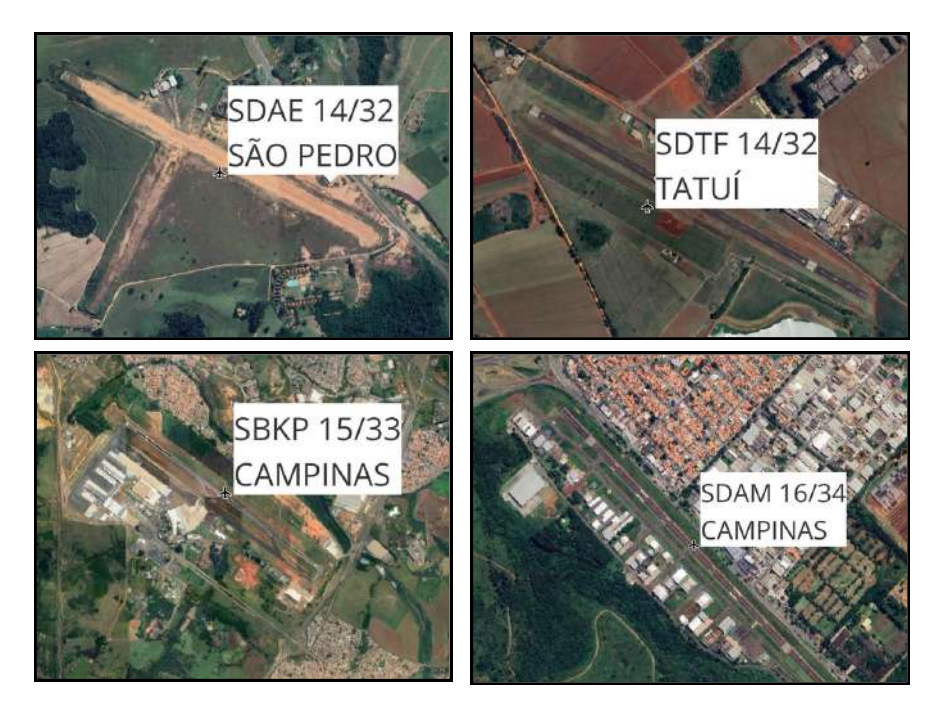


Figura A.6: Pistas com designação 14/32 a 16/34. Imagem do Google Earth via QGIS.



Figura A.7: Pistas com designação 17/35 a 18/36. Imagem do Google Earth via QGIS.







Figura A.8: Pistas com orientação aproximada de leste a oeste. Imagem do Google Earth via QGIS.

OBS.: A designação do SSCB no cadastro ANAC parece não estar adequada com a declinação magnética da região.







Figura A.9: Pistas com orientação desfavorável de acordo com as análises. Imagem do Google Earth via QGIS.

A Tabela A.1 apresenta alguns dados básicos destes aeródromos, incluindo informações sobre a pista principal, a partir de dados de cadastro da ANAC. Eles se encontram a 1 grau de distância de Rio Claro, um pouco mais de 100km em linha reta.

Tabela A.1: $Aeródromos\ próximos$

CÓDIGO	MUNICÍPIO	LATITUDE	LONGITUDE	DESIG1	COMP1	LARG1
SDET	TIETÊ	23° 6' 17" S	47° 43' 28" W	02/20	850 m	30 m
SDPY	PIRASSUNUNGA	22° 1' 40" S	47° 25' 18" W	02/20	860 m	30 m
SDSC	SÃO CARLOS	21° 52' 35" S	47° 54' 12" W	02/20	1720 m	45 m
SBYS	PIRASSUNUNGA	21° 59' 04" S	47° 20' 39" W	02/20		
SDRK	RIO CLARO	22° 25' 54" S	47° 33' 45" W	03/21	1047 m	40 m
SDJV	S. J. BOA VISTA	22° 1' 0" S	46° 50' 26" W	04/22	1250 m	30 m
SDLL	LEME	22° 13′ 33″ S	47° 22' 51" W	09/27	1332 m	18 m
SSCB	CASA BRANCA	21° 47' 17" S	47° 3' 20" W	09/27	1154 m	20 m
SDAA	ARARAS	22° 20′ 13″ S	47° 21' 30" W	12/30	1150 m	30 m
SDAI	AMERICANA	22° 45' 19" S	47° 16' 5" W	12/30	1100 m	18 m
SDMJ	MOGI MIRIM	22° 24′ 39" S	46° 54' 20" W	12/30	1500 m	30 m
SDAE	SÃO PEDRO	22° 35' 1" S	47° 53' 46" W	14/32	1000 m	25 m
SDTF	TATUÍ	23° 19' 55" S	47° 52' 48" W	14/32	1300 m	30 m
SBKP	CAMPINAS	23° 0' 25" S	47° 8' 4" W	15/33	3240 m	45 m
SDAM	CAMPINAS	22° 51' 33" S	47° 6' 29" W	16/34	1650 m	30 m
SBAQ	ARARAQUARA	21° 48′ 43″ S	48° 7' 59" W	17/35	1800 m	30 m
SDPW	PIRACICABA	22° 42' 43" S	47° 37' 5" W	17/35	1200 m	30 m
SBJD	JUNDIAÍ	23° 10′ 54″ S	46° 56' 37" W	18/36	1400 m	30 m

Análise das Temperaturas de Referência

Esta seção detalha a temperatura de referência ajustada ao nível do mar (**Tref_0**), calculada conforme o modelo da Atmosfera Padrão Internacional (ISA) com uma taxa de decréscimo de temperatura de 0,0065°C por metro de elevação.

Estação: Piracicaba

• **Tref:** 30,13°C

Elevação: 566,46 mTref_0: 33,81°C

Tabela A.2: PIRACICABA: Cálculo da Temperatura de Referência

Month	Average Temp (°C)	Max Average Temp (°C)
January	24,19	29,83
February	24,39	30,13
March	23,58	29,16
April	22,15	28,14
May	19,08	25,26
June	18,37	24,79
July	18,30	25,51
August	19,44	26,75
September	21,78	28,82
October	22,99	29,57
November	22,86	28,75
December	24,16	29,88

Estação: SBKP

Tref: 29,89°CElevação: 661,0 m

• Tref_0: 34,1865°C

Análise da Temperatura de Referência

O mês mais quente é fevereiro com uma temperatura média de 24,07°C.

Tabela A.3: SBKP: Cálculo da Temperatura de Referência

Mês	Temp. Média (°C)	Temp. Máxima Média (°C)
Janeiro	23,84	29,52
Fevereiro	24,07	29,89
Março	23,34	29,00
Abril	21,77	27,56
Maio	19,00	24,74
Junho	18,18	24,05
Julho	18,15	24,61
Agosto	19,01	25,84
Setembro	21,14	28,17
Outubro	22,24	28,67
Novembro	22,24	28,36
Dezembro	23,60	29,55

Estação: SBYS

• **Tref:** 30,5°C

Elevação: 598,0 mTref_0: 34,387°C

Análise da Temperatura de Referência

O mês mais quente é fevereiro com uma temperatura média de 25,36°C.

	Tabela A.4: SBYS: Cálculo da Temperatura de Referência			
Mês	Temp. Média (°C)	Temp. Máxima Média (°C)		
Janeiro	25,07	30,32		
Fevereiro	25,36	30,50		
Março	24,72	29,80		
Abril	22,95	28,64		
Maio	19,95	25,99		
Junho	18,85	25,47		
Julho	18,78	26,12		
Agosto	20,46	27,57		
Setembro	23,44	30,18		
Outubro	24,46	30,23		

Continua na próxima página

Tabela A.4 – continuação da página anterior				
Mês Temp. Média (°C) Temp. Máxima Média (°C)				
Novembro	24,19	29,53		
Dezembro	25,07	30,07		

Com base nos dados, encontra-se a relação apresnetada na Tabela A.5.

Tabela A.5: Estações: Cálculo da Temperatura de Referência

Estação	Temp. Ref (°C)	Elevação (m)	Tref_0 (°C)
PIRACICABA	30,13	566,46	33,81
SBKP	29,89	661,00	34,19
SBYS	30,50	598,00	34,39
Média	-	-	34,13

Dimensionamento do PPSit

Comprimento da PPD

Utiliza-se o ábaco da aeronave B 737 MAX 8 [3], aplicando as correções recomendadas pela ICAO (Doc 9157).

- 1. Distância Crítica de Voo: 390 NM
- 2. Peso Operacional de Decolagem: 156.000 libras (conforme o ábaco da Figura A.10)
- 3. Elevação Representativa na Região: 650 m
- 4. Diferença de Elevação em relação ao ábaco: 40 m (ver Figura A.11)
- 5. Fator de Correção para Elevação: 1,009
- 6. Fator de Correção para Temperatura: 1,04
- 7. Fator de Correção para Inclinação: 1,05
- 8. Comprimento da Pista de Decolagem: 2207 m
- 9. Comprimento da Pista de Aterrissagem: 1766 m (conforme Figura A.12)
- 10. Comprimento de Pista Projetado Assumido: 2200 m

Logo, a aeronave B 737-8 MAX cumprindo a etapa Rio Claro-Brasília precisa de **2.200 m** de pista.

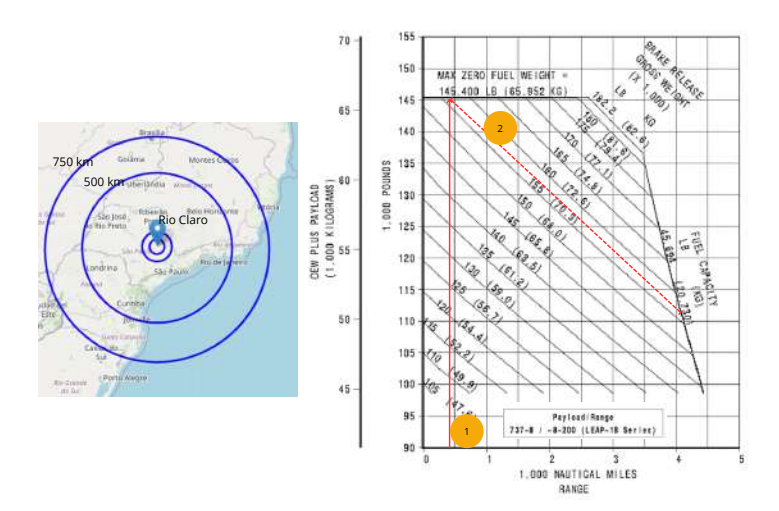


Figura A.10: B737-8 MAX: Determinação do Peso Operacional de Decolagem com base na etapa

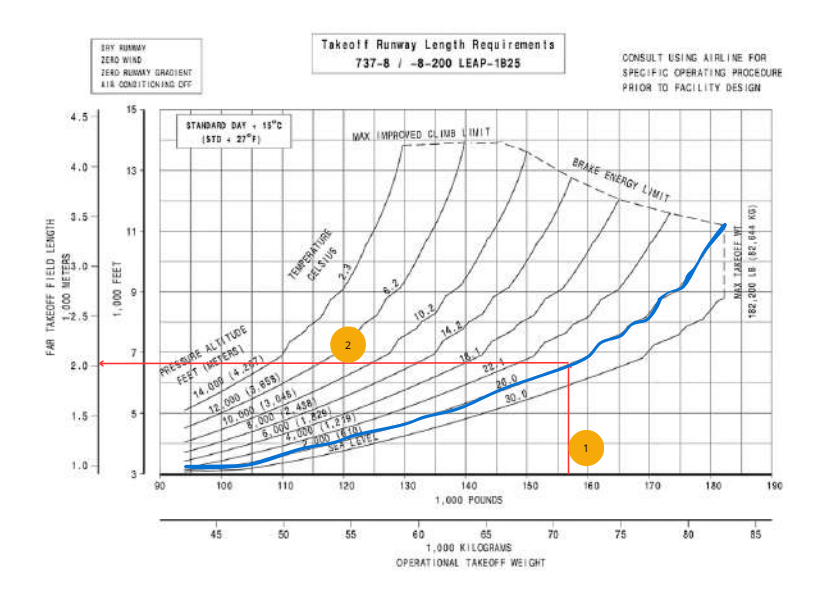


Figura A.11: B737-8 MAX: Distância de Decolagem

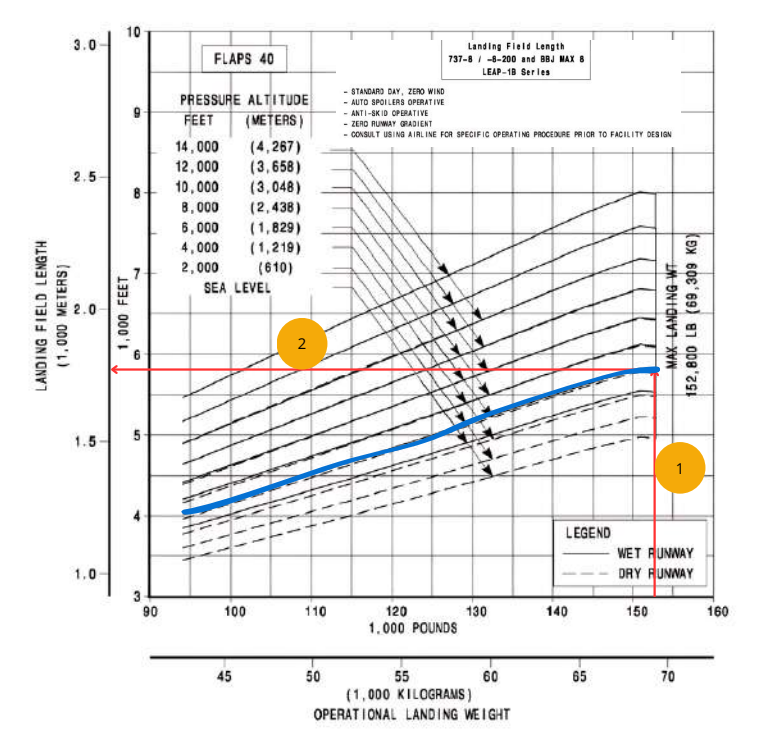


Figura A.12: B737-8 MAX: Distância de Pouso

PPSit

O PPSit abriga a área física e uma área de influência de ruído incompatível, conforme faixa 3 do PBZR previsto no RBAC 161 [1]. Admite-se que a pista possui certa liberdade de locação, conforme

a Figura A.13.

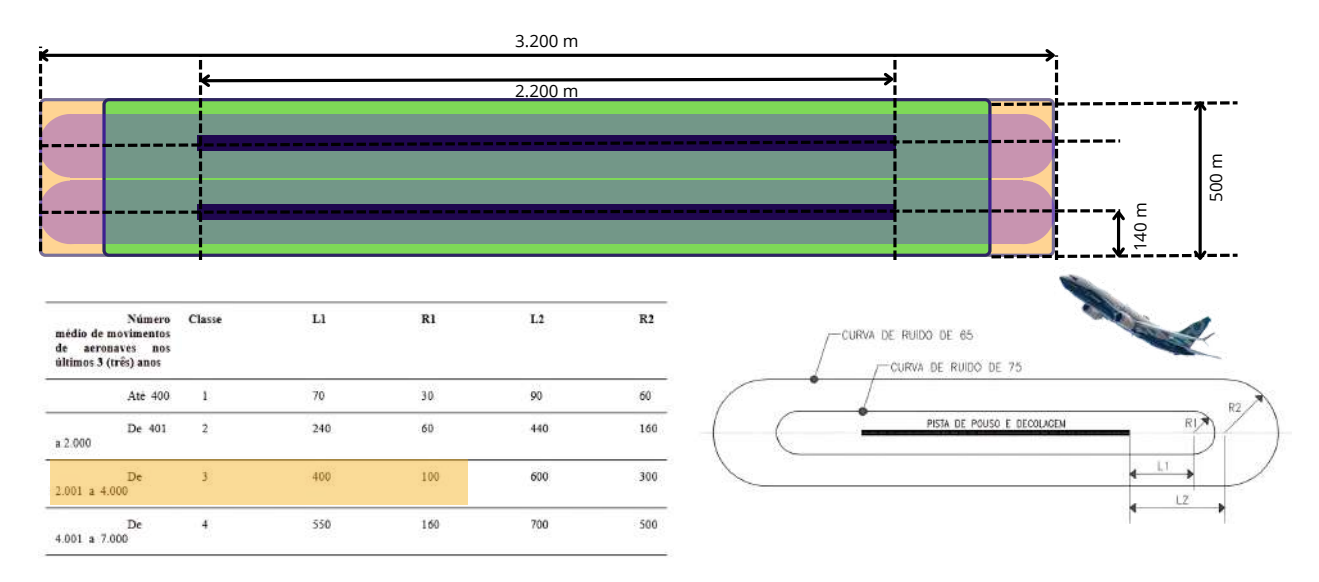
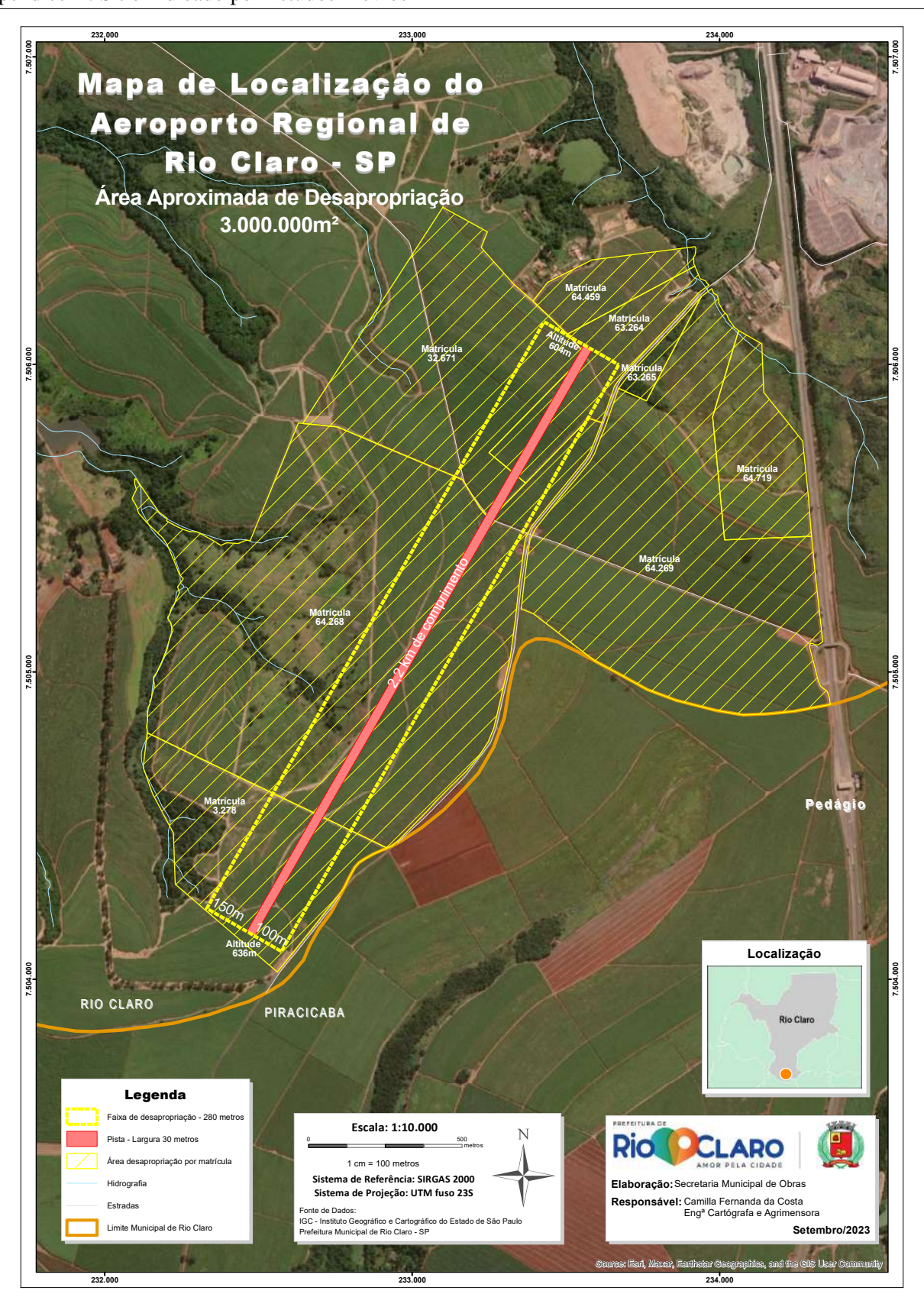


Figura A.13: PPsit: diferentes alocações da PPD são possíveis.



Sítio Indicado por Estudos Prévios





Relatório Geotécnico

Relatório Geotécnico

Projeto InovaAC: Objeto2 / Etapa 1 Processo de Seleção de novos sítios aeroportuário Caso: Rio Claro -SP

Abril de 2024





Sumário

1.	Introdução	5
2.	Ensaios de Campo	6
2	2.2 Planilhas e Gráficos – DCP	8
	2.2.1 Rio Claro SG-1	8
	2.2.3 Rio Claro SG-2	
	2.2.3 Rio Claro SG-3	12
	2.2.5 Rio Claro - SG	14
	2.2.4 Rio Claro SG-4	16
3.	Ensaios de Laboratório	18
4.	Conclusão	19
5.	Fotos de Campo	20
6.		22
7.	Normas	22





Figuras

9	
Figura 1- Mapa da Região de Rio Claro	5
Figura 2 - Perfis predominantes	6
Figura 3 – Tipos de solo por SG	7
Figura 4 - Tabuleiros - perfis	20
Figura 5 – Sondagem e DCP	
Figura 6 – Análise de dados	21
Figura 7 – Término de ensaio	21
Quadros	
Quadro 1 - Correlação DCP x CBR – ASTM 6951 e correlação DCP ITA	18
Quadro 2 - Classificação pelo Sistema Unificado dos Solos - SUCS	18
Quadro 3 - Resultados de ensaios de laboratório	





1. Introdução

• Investigação Geotécnica

Projetos Geotécnicos de qualquer natureza são realizados com base em ensaios de campo, cujas medidas permitem uma definição satisfatória de estratigrafia do subsolo e uma estimativa realista das propriedades geomecânicas dos materiais envolvidos.

O reconhecimento das condições do subsolo constitui pré-requisito para projetos seguros e econômicos, e garantem soluções mais racionais.

Objetivo

Os ensaios realizados nessa fase tiveram como objetivo, caracterizar os solos na cidade de Rio Claro - São Paulo (Figura 1), e utilizá-lo como um dos parâmetros de análise no processo de prospecção do sítio aeroportuário.



Figura 1- Mapa da Região de Rio Claro

• Características Geológicas

Espessa camada de solo arenoso, domínio de litolipos arenosos amarelos a avermelhados, variando de areia fina a grossa, com interlação de lentes de sedimentos argilosos (Figura 2).





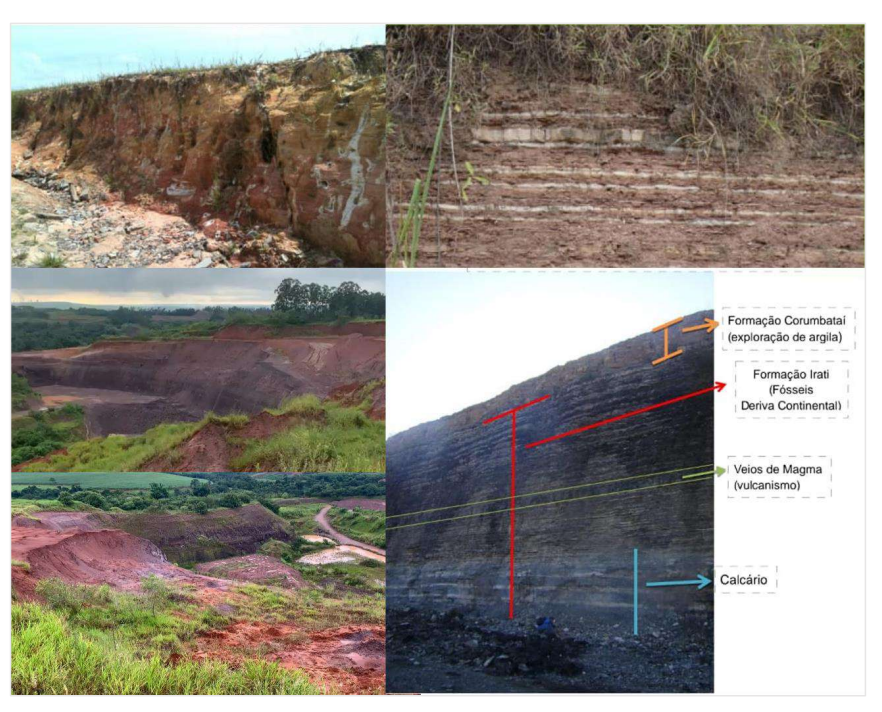


Figura 2 - Perfis predominantes

2. Ensaios de Campo

- Extração e Coleta de Amostras NBR 9603
- Sondagem a trado
- Coleta de solos em furos de sondagem à trado, de 0,20 cm até 0,60 cm.
- Identificação Visual Tátil NBR 7250
- Solo arenoso argiloso avermelhado (Figura 3).

6







Figura 3 – Tipos de solo por SG

 Ensaios de Penetração Dinâmica – DCP – ASTM D – 6951 e Correlação DCP ITA

Profundidade: 0,20cm a 2,50m para avaliar e estimar o grau de compactação dos solos.

A seguir, apresentam-se as planilhas e gráficos DCP (Tabela 1 e Tabela 2).





- 2.2 Planilhas e Gráficos DCP
- 2.2.1 Rio Claro SG-1
- 2.2.2 Estacas S.0.1 Estacas S.0.2 Estacas S.1.3

DEPARTAMENTO DE GIÊNCIA E TECNOLOGIA AEROESPACIAL - DCTA Divisão de Engonharia CPUI-TRA Laboratório de Geotecnio					PENETROMETRO DINAMICO DE CONE - DCP Planilha de Campo						
ocal:			WAR DE LA CONTRACTOR DE		RIO	CLARO - SP					
esignação:						SG1					
perador:		Re	einal do/ Caléia/ Fábio		Fonte						
lata:			05/03/2024		Posiç						
	Estacas S.01		The second second	Estacas S.02	1,000		Estacas S.13				
amada:	244mm at	e 2593mm	Cameda	90mm até	1343mm	Camada:	55mm at	té 675mm			
eltura inicial:			Leitura Inicial:			Lekura Inicial:			**************************************		
Nº Golpes	Leituras (mm)	Penet. (mm)	Nº Golpes	Leituras (mm)	Penet. (mm)	N° Golpes	Leituras (mm)	Penet. (mm)			
0	183	0	0	44	0	0	30	0	menta por		
1	244	61	1	90	46	1	55	25			
2	287	43	2	108	18	2	78	23	Rio Claro /		
3	312	25	3	120	12	3	100	22	1 2		
4	335	23	4	133	13	4	122	22			
5	364	29	5	145	12	5	149	27	J. C.		
6	394	30	6	159	14	6	180	31	Sta Services		
7	428	34	7	171	12	7	220	40	FIRECAN		
8	459	31	8	188	17	8	245	25			
9	492	33	,	207	19	9	275	30	1		
10	492 526		10	207		10	307				
		34			20			32	13		
11	966	39	- 11	248	21	11	342	35			
12	611	46	12	273	25	12	372	30			
13	665	54	13	304	31	13	407	35			
14	724	59	14	336	32	14	439	32			
15	785	61	15	370	34	15	474	35			
16	857	72	16	408	38	16	514	40			
17	944	87	17	447	39	17	542	28	l l		
18	967	23	18	493	46	18	567	25			
19	1023	56	19	540	47	19	593	26			
20	1080	57	20	592	52	20	621	28			
21	1134	54	21	651	59	21	651	30			
22	1240	106	22	720	69	22	675	24			
23	1297	57	23	795	75	23	1		+ +		
24	1352	55	24	870	75	24			1.		
25	1429	77	25	925	55	25	1				
26	1481	52	26	975	50	26			+		
27	1533	52	27	1026	51	27	-				
28	1586	53	28	1026	52	28	1		+		
29	100000	1.500	29	100000000000000000000000000000000000000	53	29	-				
30	1654	68	30	1131		30		-	+		
30	1724	70	31	1181	50	31	-				
	1791	67		1234	53		-				
32	1859	68	32	1288	54	32					
33	1927	68	33	1343	55	33					
34	1994	67	34			34					
35	2060	66	35			35					
36	2124	64	36			36			No.		
37	2175	51	37			37					
38	2227	52	38			38	1.5		2		
39	2277	50	39			39					
40	2328	51	40			40					
41	2381	53	41			41					
42	2433	52	42			42	. 6	E .			
43	2484	51	43			43					
44	2538	54	44	1		44	1				
45	2538	55	45	-		45	-		+		
46	2050	0.0	46			46	-		+ + + + + + + + + + + + + + + + + + + +		

Tabela 1 – Estacas S.0.1; S.0.2; S.1.3





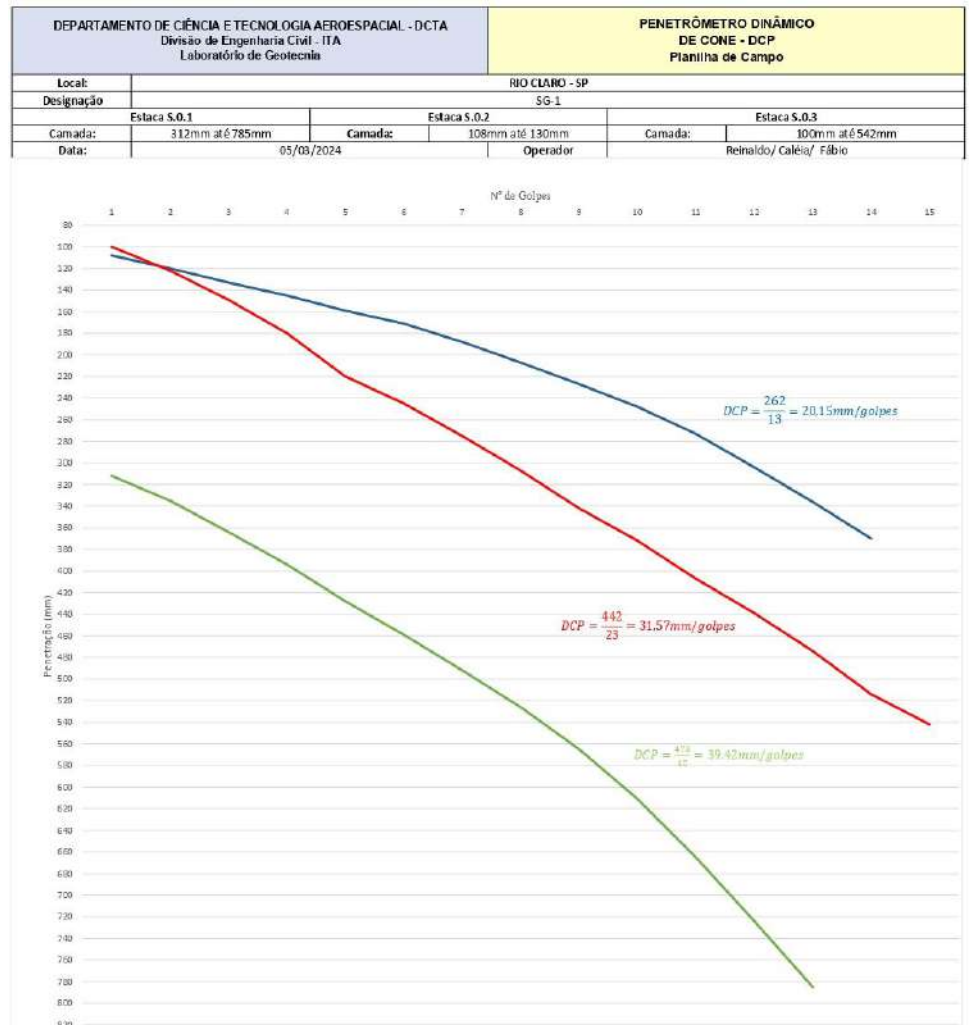


Tabela 2 – Gráfico das estacas S.0.1; S.0.2; S.1.3





- 2.2.3 Rio Claro SG-2
- 2.2.4 Estacas S.0.1 e S.0.2

350	Divis	são de Engenha aboratório de C	DLOGIA AEROESPAC rin Civil - ITA Septection	JML - ENLTA	PENETROMETRO DINAMICO DE CONE - DCP Planilha de Campo					
cal:		and section of C	es unu ti Util		RIO CLARO - SP					
signação						G-2				
esidor:	-	D.	éraldo/Caléia/ Fábio		Forte:	-				
d&:	1		05/03/2024		Penigao					
osc.	Estacas S.01		- Canada -	Estacas 9.02	Trugo.					
amada;		ú 1549mm	Carnada.		é 624mm				Secondaria .	
eitura Inicial:	(36,00)		Leitura hicial:	1,40,001080	2020		: ::			
Nº Golpes	Leburas	Penet.	N Gdpes	Leturas	Peret	Nº Golpes	Leituras	Penet.	toute or	
	(mm)	(mm)		(mm)	(mm)		(mm)	(mm)	1	
0	19	0	- 0	35	0	. 4			Nic Chire (SP)	
1	52	33	1	64	29	1			1 (00)	
2	87	35	2	81	17	1			-	
3	125	38	1	91	10	3			9 6 9	
4	167	42	4	101	10	4			. (
5	197	30	5	108	7.	5				
6	222	25	- 6	115	7	6			Manual Control of the	
7	258	31	7	122	7	1				
	2.79	26	- 1	130	8	8				
9	308.	29	9	130	0	9				
10	338	30	10	144	8	10				
11	369	31	11	152	8	- 11	- 3			
12	396	27	12	157	- 5	12				
13	422	26	13	104	7.	13				
34	448	26	14	172	8	14				
15	478	30	15	180	8	15				
16	530	12	16	186	6	16				
17	545	35	17	192	6	17	- 3			
18	574	29	18	206	14	18				
19	603	29	10	214	8	19				
20	637	34	20	220	6	-20				
21	673	36	21	226	6	21				
22	697	24	n	234	8	22	- 1			
23	720	23	23	240	- 6	23				
24	743	23	24	250	10	24				
25	706	23	25	255	5	25				
26	790	24	26	262	7	26				
21	835	25	77	270	В	27			1	
28	840	25	28	275	5	28				
29	803	23	29	280	5	23				
30	899	36	30	287	7	30				
31	924	25	31	292	5	31				
32	951	27	32	298	6	35				
33	979	28	n	305	7	33				
34	1004	25	34	311	- 6	34				
35	1033	29	35	319	7	35			-	
36	1058	25	35	326	7	36				
37	1084	26	70	331	6	37				
30	1111	27	38	340	0	38				
30	1134	23	20	352	12	39	- 1			
40	1158	24	40	354	2	40				
41	1181	23	41	360	- 6	41				
42	1205	24	42	366	6	42				
43	1230	25	43	375	9	43				
41	1230		41		- 9	41	-			
45	1253	23 26	45	380	10	45				
46	1279	26	46	390 400	10	45	-			
40	1325	25	# P	405	5	47				
49			- 40		9	48				
49	1348	23 26	48	414 423	9	49				
90			49		9	50				
51	1397	24	50 51	432	10	51				
52	1423	26	9			51				
53	1445	23	53	450	8	52				
53	1471	25	53	458 467	8 9	54	-			
55 55	1524	26 27	56	475	8	55				
			56			58				
56 57	1549	25	56 57	483 490	8	56 57				
58	-		58		7 8	58				
	-	_		498					1	
59	-		59	508		59				
80	-			513	1	60				
61			- 61	626	18	61				
62			62	\$28	2	62				
63	-		63	534	- 8	63	9			
64			64	542	8	64				
65			65	549	7	65				
66	-		66	566	- 5	0	-			
67			er er	562	7	67				
68			68	568	6	68				
69			69	679	7	69				
70			70	581	- 6	70				

Tabela 3 - Estaca S.0.1 e S.0.2

10





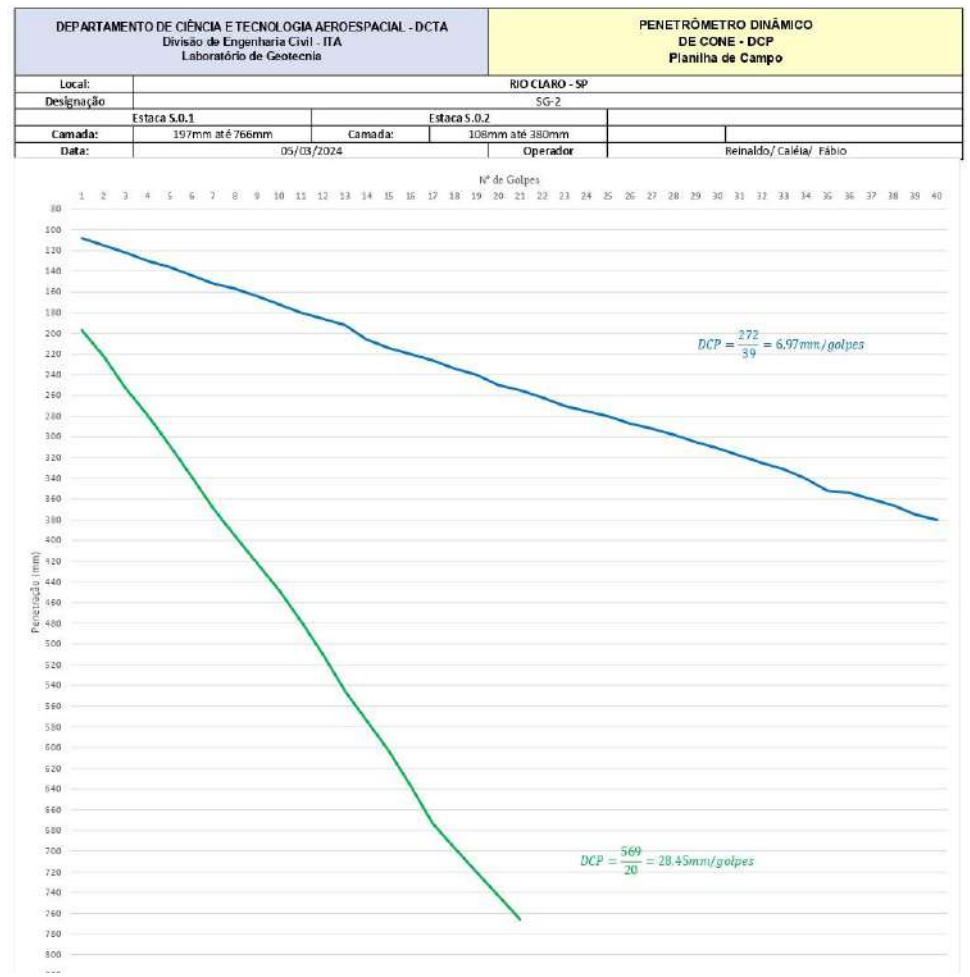


Tabela 4 – Gráfico das estacas S.0.1 e S.0.2





2.2.3 Rio Claro SG-3

2.2.5 Estacas S.0.1; S.0.2 e estaca S.0.3

				The second second	PENETROMETRO DINAMICO DE CONE - DCP Planilha de Campo RIO CLARO - SP					
				RIO						
	sme	en in the care a Registre Property			SG-3					
	Re	einaldol Caléial Fábio		Fonte						
		05/03/2024		Posiçã	0:			100 20		
Estacas S.01			Estacas S.02			Estacas 8.03				
69mm até	1593mm	Camada	48mm at	è 265mm	Camada.	85mm at	é 845mm	Compakend		
- Continues of		Leitura Inicial:		-	Leitura Inicial:		OLOU PURANTA			
Leituras (mm)	Penet.	Nº Golpes	Leituras (mm)	Penet. (mm)	Nº Golpes	Leituras (mm)	Penet. (mm)			
33	0	0	26	0	0	47	0	Mit Glaro		
69	36	1	46	20	1	86	38	(SP)		
								- 1		
								4 4		
								/ District		
								PRIORIE		
		- //	1000			3750				
	100						- 10-			
317	36		136	- 11		289	19			
350	33		146	10		305	16			
385	35	13	155	9	13	325	20			
423	38	14	160	5	14	347	22			
465	42	15	164	4	15	366	18			
		16		4	16	-11022				
								+		
917	52		195	3		640	49			
969	52	25	198	3	25	685	45			
1022	53	26	200	2	26	735	50			
1073	51	27	203	3	27	790	55			
	50	28			28	845	55			
	52	29		4	29		****			
								1		
			0.000							
								1		
			20000		2.5.1					
								1		
1593	50									
			233	3			1			
		39	236	3	39					
		40	242	6	40		ń			
		41	244	2	41					
	-	42	246	2	42		1			
							0	9 0		
								+ + + -		
								+		
								1		
							D.			
			265	2						
	69mm ali Lahuran (ma) 33 69 90 108 127 148 173 202 250 222 250 385 385 503 667 667 667 600 667 647 600 685 917	69mm abi 1593mm Leituras (mm) (mm) (mm) (mm) (mm) (mm) (mm) (mm	Spinnas 1593mm Caradaz Carada	Caracla Lebus hick	Solution Solution Caracka Africa pickel	Carmonals 1800mm Carmoda: Lehura Indical: Cahura Indical	Sommable Solome Canada Africa Africa Canada Canada	Canada C		

Tabela 5 - Estacas S.0.1; S.0.2 e S.0.3





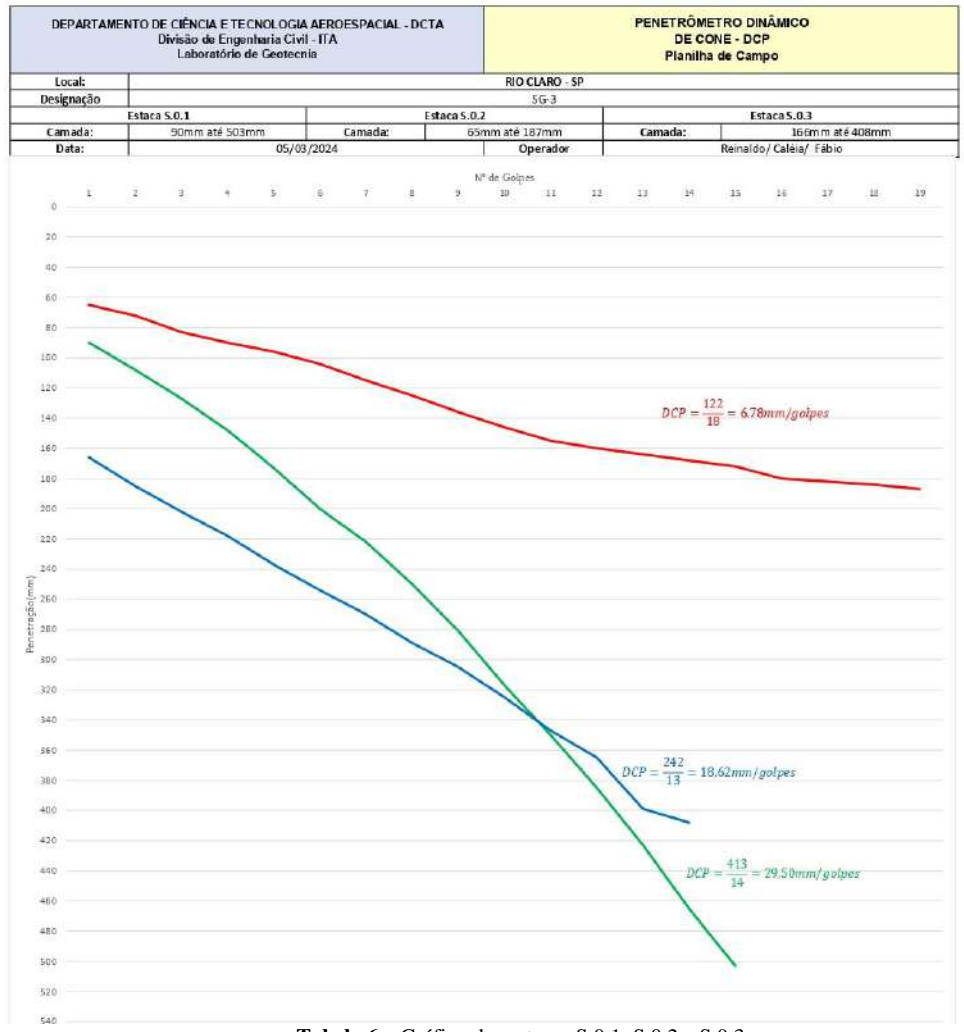


Tabela 6 – Gráfico das estacas S.0.1; S.0.2 e S.0.3





- 2.2.5 Rio Claro SG
- 2.2.6 Estaca S.0.3

DEPAR	Divisi	NCIA E TECNOL ão de Engenharia aboratório de Ge	OGIA AEROESPAC CIVII - ITA olecnia	IAL-DUIA	PENE TROMETRO DINAMICO DE CONE - DCP Planilha de Campo						
ocal:	U	nonationio de Ger	musi na		RIO CLARO - SP						
esignação:						\$G					
perador:		Rein	ldo/Caléia/Fábio		Fonte:	1					
ata:	-	7500	06/03/2024		Posição:						
	Estacas 8.01				1			100			
amada:		é 1299mm							teneteti		
eltura Inicial					-						
Nº Golpes	Leiturus (mm)	Penet. (mm)	Nº Golpes	Leituras (mm)	Penet. (mm)	Nº Golpes	Leituras (mm)	Penet. (mm)	-20/		
0	40	0	9		3,010,0	0	1,02,00		Rio Cturo /		
1	122	82	1		0 0	1.			(30)		
2	173	51	2		E 1	2			/ mm 2		
3	200	27	3			3			5 7		
4	220	20	4		0 5	4			Sin Consum		
5	239	19	5			5					
6	251	12	6			6					
7	262	11	7		5 2	7		1			
8	280	18	8			8					
9	290	10	9	11	i i	9					
10	310	20	10		8 1	10					
11	330	20	- 11			11					
12	352	22	12			12					
13	374	22	13			13					
14	400	26	14			14					
15	425	25	15		1	15					
16	455	30	16			16					
17	487	32	17			17					
18	520	33	18			18					
19	547	27	19			19		1			
20	603	56	20			20					
21	644	41	21			21					
22	680	36	22			22					
23	720	40	23			23					
24	757	37	24			24					
25	803	46	25			25					
26	855	52	26			26					
27	877	22	27			27					
28	900	23	20			28					
29	924	24	29			29					
30	945	21	30			30					
31	968	23	31			31					
32	990	22	32			32					
33	1014	24	33			33					
34	1037	23	34		1	34					
35	1058	21	35			35					
36	1080	22	36			36					
37	1103	23	3/		9 6	37					
38	1126	23	38			38					
39	1148	22	39			39					
40	1169	21	40		0.00	40					
41	1191	22	41			41					
42	1213	22	42			42					
43	1234	21	43			43					
44	1255	21	44			44					
45	1278	23	45			45					
46	1278	21	46			46		-			
47	1239	- 21	47			47					
48	-		411			49					

Tabela 7 - Estacas S.0.1; S.0.2 e S.0.3







Tabela 8 – Gráfico da estaca S.0.3





2.2.4 Rio Claro SG-4

2.2.7 Estaca S.0.1

DEPAR	Divisi	NCIA E TECNOL ão de Engenharia aboratório de Ge	OGIA AEROESPAC Civil - ITA otecnia	IAL DCTA	PENETROMETRO DINAMICO DE CONE - DCP Planilha de Campo						
ocal:					RIO CL	RIO CLARO - SP					
les ignação:						G-4					
perador:		Rein	aldo/Caléla/Fábio		Fonte:						
ata:	7	Positi	06/03/2024		Posição:						
e.a.			OM GRENE!		Estacas						
	Estacas S.01				Company						
amada:		é 1839mm	-					ii —	Countable		
eltura Inicial:	12011111 as	9 1 839 FIRE									
	Leituras	Penet		Leituras	Penet.	/	Leituras	Penel.			
Nº Golpes	(mm)	(mm)	Nº Golpes	(mm)	(mm)	Nº Golpes	(mm)	(mm)	tream for		
0	60	0	0	(many	- Quanty	0	Uning	Unite			
	126	66				-			Ris Olaio (SP)		
1			1			1			- 1		
2	192	66	2			2					
3	253	61	3			3		r.	3 (
4	308	55	4			4			St. Enduded		
5	358	50	5			5					
6	407	49	6			- 6			-		
7	472	65	7			7					
8	541	69	8			- 8			1		
9	617	76	9			9					
10	702	85	10	-		10			+ + -		
11	780	78	11			11					
12	850	70	12			12					
13	925	75	13			13					
14	998	73	14	3		14					
15	1063	65	15			15					
16	1126	63	16			16					
17	1151	25	17			17					
18	1185	34	18			18					
19	1208	23	19			19					
20	1230	22	50			20					
21	1253	23	21			21					
22	1277	24	22			22					
21	1300	23	23			23		V			
24	1324	24	24			24					
25	1347	23	25			25			1		
20	1371	24	26			26					
27		23	27	-		27			4		
	1394										
26	1416	22	28			28					
29	1439	23	29			29			l V		
30	1462	23	30			30					
31	1486	24	31			31					
32	1938	22	32			32					
33	1531	23	33			33					
34	1953	22	34			34					
35	1574	21	35			35					
36	1596		36			36					
37		22	37								
	1619	23				37					
38	1640	21	38			38					
39	1663	23	39			39		į.			
40	1684	21	40			40					
41	1704	20	41			41					
42	1727	23	42			42					
43	1750	23	43			43					
44			44			44			1		
	1771	21							1		
46	1794	23	45			45					
46	1816	22	46			46					
41	1839	23	47			47					
48		-	48			48					
			49			49					

Tabela 9 – Estaca S.0.1





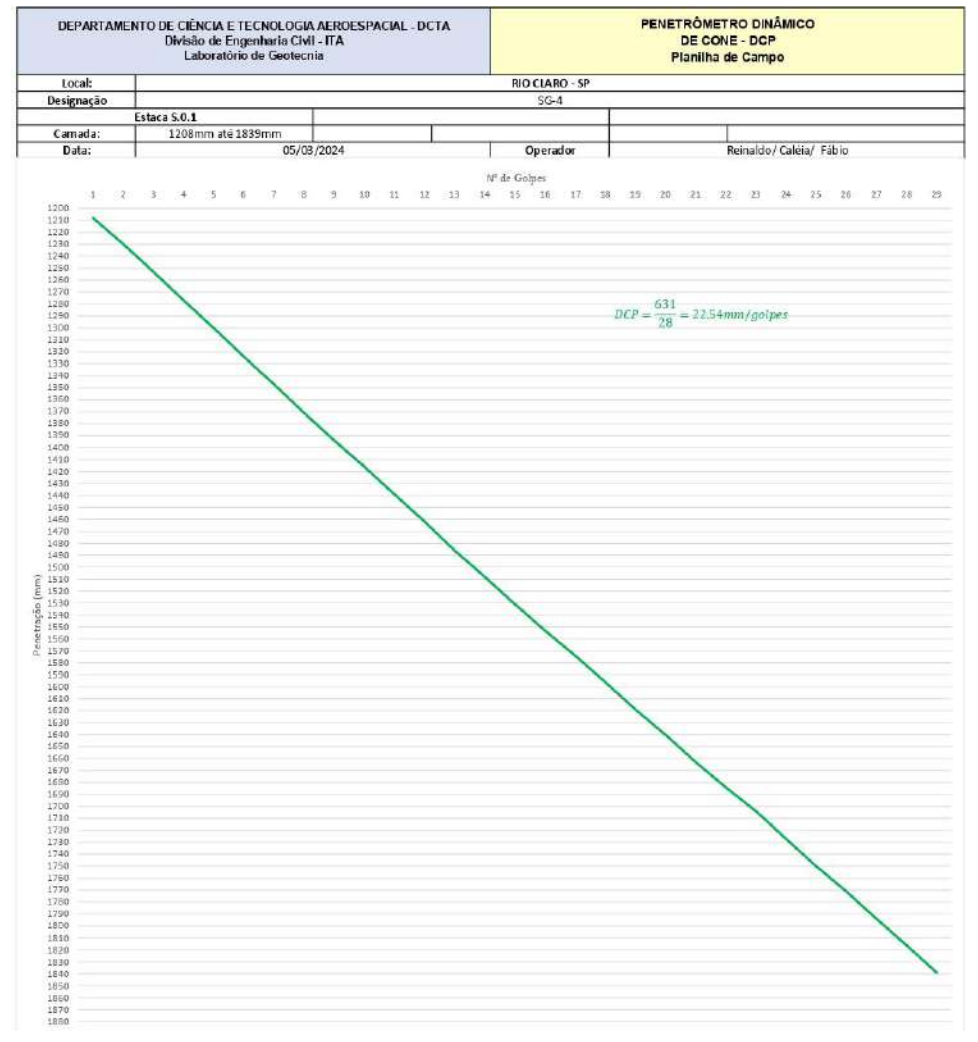


Tabela 10 - Gráfico da estaca S.0.1





Quadro 1 - Correlação DCP x CBR – ASTM 6951 e correlação DCP ITA

Localização	DCP mm/Golpes	Camada de maior resistência DCP (Profundidade mm)	CBR (%)
SG-1 S.0.1	39,42mm / golpes	312mm até 785mm	7
SG-1 S.0.2	20,15mm / golpes	108mm até 130mm	12
SG-1 S.0.3	31,57mm / golpes	100mm até 542mm	8
SG-2 S.0.1	28,45mm / golpes	197mm até 766mm	10
SG-2 S.0.2	6,97mm / golpes	108mm até 380mm	16
SG-3 S.0.1	29,50mm / golpes	90mm até 503mm	9
SG-3 S.0.2	18,62mm / golpes	65mm até 187mm	10
SG-3 S.0.3	6,78mm / golpes	166mm até 408mm	17
SG S.0.3	63,79mm / golpes	877mm até 1299mm	3
SG-4 S.0.1	22,54mm / golpes	1208mm até 1839mm	12

3. Ensaios de Laboratório

- Ensaios de Umidade Natural Estufa convencional normal
- Limites de Atterberg Limites de liquidez e plasticidade
- Análise granulométrica Peneiramento

Quadro 2 - Classificação pelo Sistema Unificado dos Solos - SUCS

Solos Grossos	Areias	Areias com Finos	Areias sem Finos
Mais da metade das partículas retida na # 200	Mais da metade da fração grossa passa na # 4	SC – Areias Argilosas	SP - Areias





Quadro 3 - Resultados de ensaios de laboratório

Localização	Granulo	metria (Percentago	em passada)	Limites de Consistência	Limites de Consistência	Classificação Unificada
	# 4 (4,75m)	# 40 (0,42 mm)	# 200 (0,074 mm)	IP		
SG-1 S.0.1	100	61,40	38,60	9	17	SC
SG-1 S.0.2	100	60,77	39,23	10	16	SC
SG-1 S.0.3	100	62,73	37,27	12	18	SC
SG-2 S.0.1	100	60,50	39,50	9	15	SC
SG-2 S.0.2	100	62,76	37,24	8	17	SC
SG-3 S.0.1	100	61,46	38,54	10	19	SC
SG-3 S.0.2	100	60,90	39,10	11	17	SC
SG-3 S.0.3	100	60,56	39,44	8	18	SC
SG S.0.3	100	62,44	37,56	10	17	SC
SG-4 S.0.1	100	61,35	38,65	11	16	SC

4. Conclusão

Característica Geológica

Conclui-se que os solos das áreas analisadas apresentam as seguintes características:

Relevo plano a suave ondulado, bem drenado.

Espessa camada de solo arenoso, predomínios de litolipos arenosos amarelados e avermelhados, variando de areia fina à grossa, com interlação de lentes de sedimentos argilosos.

Dentre as classes de solos dominantes, predomina o argissolos.

Argissolos: solo mineral, não hidromórficos, que apresentam horizonte B com textura arenosa onde houve incremento de argila. Perfis bem desenvolvido, mediamente profundos, moderadamente drenados (Figura 4). Devido à ocorrência de textura mais arenosa no horizonte superficial e, muitas vezes, a drenagem é restrita ao horizonte B.



Figura 4 - Tabuleiros - perfis

5. Fotos de Campo



Figura 5 – Sondagem e DCP

20





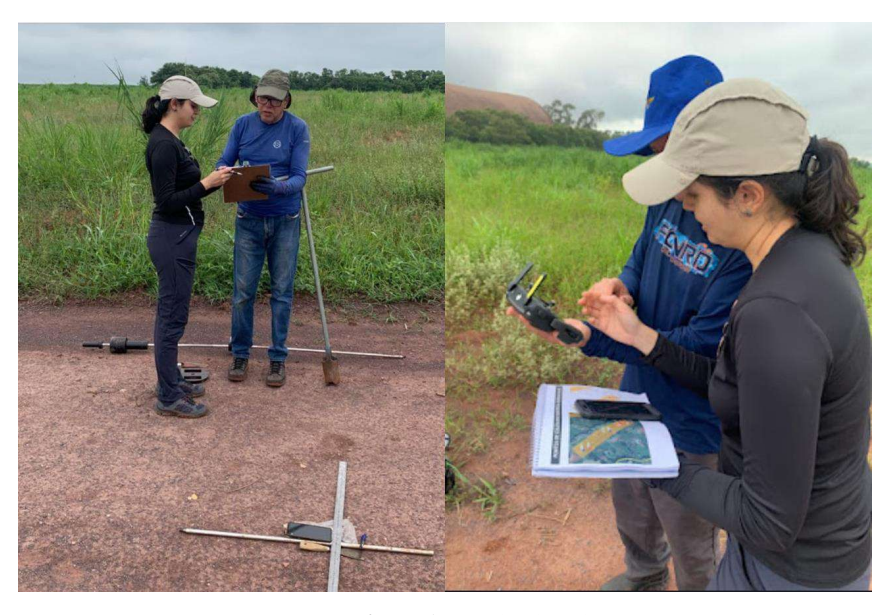


Figura 6 – Análise de dados



Figura 7 – Término de ensaio

21





6. Realizadores do ensaio

Responsável pelo ensaio: Engenheiro Civil, Reinaldo José dos Santos

Execução: Arquiteto e Urbanista Dr. José Caléia Castro

Execução: Engenheiro Eletrônico, Fabio Silveira

7. Normas

 ${\bf ASTM\ D-6951}$ Standard Test Method for Use of the Dynamic Cone Penetrometer in Shallow Pavement Applications.

NBR 9603 Sondagem de Simples Reconhecimento dos Solos

NBR 7250 Identificação e Discrição de Amostra de Solos obtidas em Sondagem

NBR 6457 Preparação de Amostra para ensaio de Caracterização

NBR 6459 Ensaio de Limite de Liquidez

NBR 7180 Ensaio de Limite de Plasticidade

NBR 7181 Análise Granulométrica



Análises de Obstáculos

Sítios Excluídos em Escritório Devido a Obstáculos

O sítio 1 é cortado por uma linha de transmissão de energia, conforme a Figura D. 1.



Figura D. 1: Linha de transmissão cortando o sítio 1. Fonte: Google Earth

O sítio 2 possui obstáculos devido ao terreno natural, conforme a Figura D. 2.

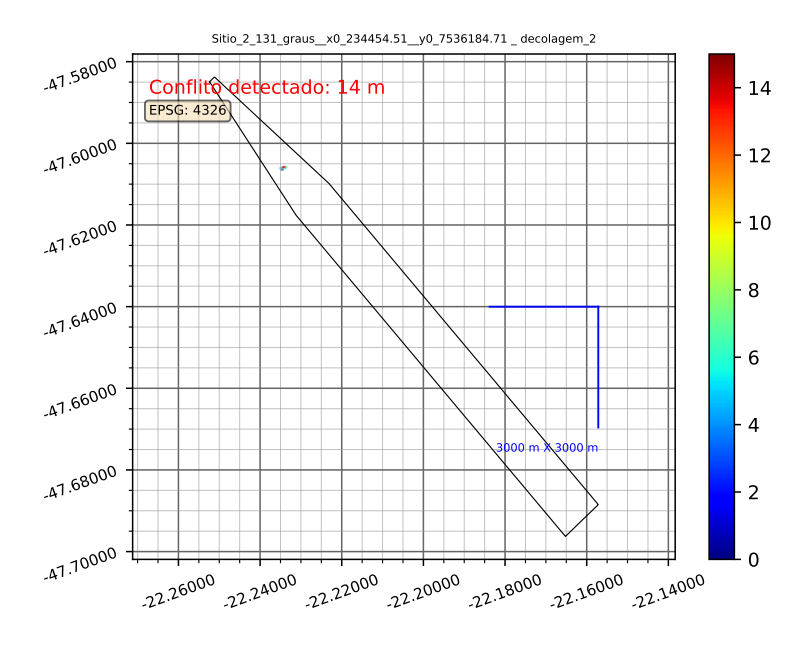


Figura D. 2: Obstáculos naturais no sítio 2.

O sítio 3 é cortado por uma linha de transmissão de energia, similar ao sítio 1, conforme a Figura D. 3.



Figura D. 3: Linha de transmissão cortando o sítio 3. Fonte: Google Earth

O sítio 4 possui obstáculo devido a uma linha de transmissão, conforme a Figura D. 4.

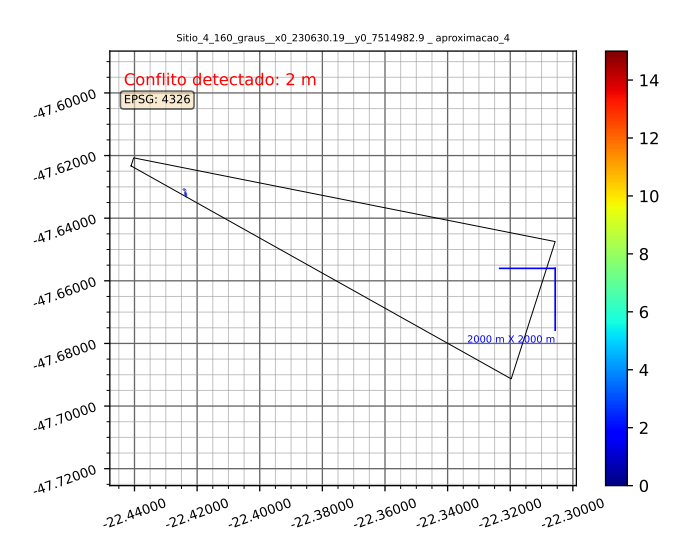


Figura D. 4: Linha de transmissão interferindo com a superfície de aproximação no sítio 4.

O sítio 8 apresenta expressiva interferência com o terreno, conforme a Figura D. 5. O sítio 9 possui uma situação similar, conforme a Figura D. 6.

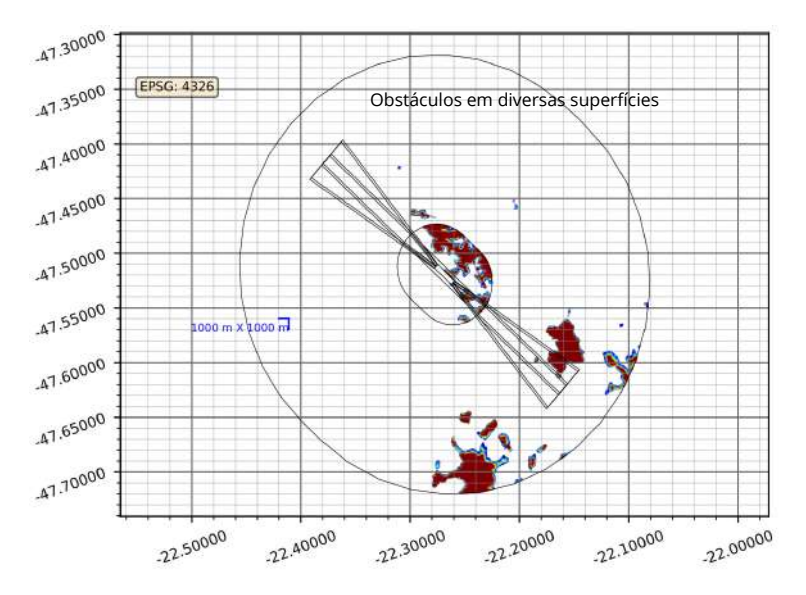


Figura D. 5: Sítio 8: Interferências com o terreno.

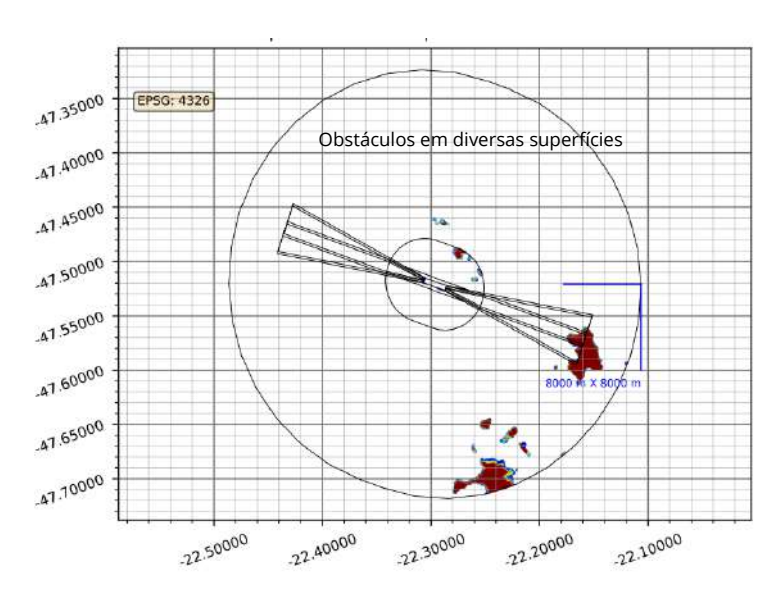


Figura D. 6: Sítio 9: Interferências com o terreno.

Relatório de Obstáculos: Torres de Comunicação

A base da ANATEL foi adicionada ao MDT gerado pela base Topodata. As superfícies do PBZPA preliminar foram construídas e cada torre cujo topo tenha fica a menos do que 15 m da respectiva superfície foi estudada.

Tabela D. 1: Sítios e Violações Identificadas

NT.	ID	G4.	G	10	NT.	A 14	MDT. AM	T7. 1. ~
Num	ID	Sítio	Superfície	E 22.4027	N	Altura_m	MDT+ Altura	Violação
1	153	S-0-1	B. H. Interna	234027	7501189	60	692	10
2	249	S-0-1	B. H. Interna	234028	7501158	80	712	30
3	331	S-0-1	B. H. Interna	234088	7501006	70	704	23
4	2958	S-0-1	B. H. Interna	234069	7501002	70	703	22
5	223	S-0-1	C. H. Externa	246070	7505825	23	846	64
6	239	S-0-1	C. H. Externa	246048	7505857	60	888	106
7	994	S-0-1	C. H. Externa	246098	7505923	28	856	75
8	1057	S-0-1	C. H. Externa	245939	7505961	4	835	54
9	1082	S-0-1	C. H. Externa	245777	7506076	25	854	73
10	1233	S-0-1	C. H. Externa	245953	7505999	40	870	88
11	1341	S-0-1	C. H. Externa	246184	7505673	44	818	36
12	1385	S-0-1	C. H. Externa	246128	7505795	40	858	77
13	1448	S-0-1	C. H. Externa	246117	7505780	30	849	67
14	1504	S-0-1	C. H. Externa	246119	7505801	18	837	55
15	1632	S-0-1	C. H. Externa	245975	7505882	72	901	119
16	1648	S-0-1	C. H. Externa	246028	7505829	2	824	42
17	1702	S-0-1	C. H. Externa	246036	7505837	24	848	66
18	1841	S-0-1	C. H. Externa	246070	7505825	2	825	43
19	2761	S-0-1	C. H. Externa	246148	7505817	30	849	67
20	2799	S-0-1	C. H. Externa	246143	7505801	20	838	56
21	2865	S-0-1	C. H. Externa	246079	7505823	24	846	64
22	2955	S-0-1	C. H. Externa	246155	7505826	40	858	77
23	3008	S-0-1	C. H. Externa	246156	7505827	28	846	65
24	3057	S-0-1	C. H. Externa	246148	7505817	22	841	59
25	3136	S-0-1	C. H. Externa	246042	7505825	24	845	64
26	3271	S-0-1	C. H. Externa	245932	7505878	30	849	67
27	3290	S-0-1	C. H. Externa	245997	7505936	14	847	66
28	3376	S-0-1	C. H. Externa	246012	7505886	15	847	65
29	3735	S-0-1	C. H. Externa	245791	7506101	40	868	86
30	223	S-0-2	C. H. Externa	246070	7505825	23	846	102
31	239	S-0-2	C. H. Externa	246048	7505857	60	888	145
32	994	S-0-2	C. H. Externa	246098	7505923	28	856	113
33	1057	S-0-2	C. H. Externa	245939	7505961	4	835	92

			Tabela D. 1 – contin	nuação da	n página an	terior		
Num	ID	Sítio	Superfície	E	N	Altura_m	MDT+ Altura	Violação
34	1082	S-0-2	C. H. Externa	245777	7506076	25	854	111
35	1233	S-0-2	C. H. Externa	245953	7505999	40	870	127
36	1341	S-0-2	C. H. Externa	246184	7505673	44	818	74
37	1347	S-0-2	C. H. Externa	239380	7517655	31	757	13
38	1385	S-0-2	C. H. Externa	246128	7505795	40	858	115
39	1448	S-0-2	C. H. Externa	246117	7505780	30	849	105
40	1504	S-0-2	C. H. Externa	246119	7505801	18	837	93
41	1632	S-0-2	C. H. Externa	245975	7505882	72	901	157
42	1648	S-0-2	C. H. Externa	246028	7505829	2	824	80
43	1702	S-0-2	C. H. Externa	246036	7505837	24	848	105
44	1824	S-0-2	C. H. Externa	239266	7517622	50	773	29
45	1841	S-0-2	C. H. Externa	246070	7505825	2	825	81
46	2761	S-0-2	C. H. Externa	246148	7505817	30	849	105
47	2793	S-0-2	C. H. Externa	239531	7517536	40	759	16
48	2799	S-0-2	C. H. Externa	246143	7505801	20	838	94
49	2865	S-0-2	C. H. Externa	246079	7505823	24	846	103
50	2955	S-0-2	C. H. Externa	246155	7505826	40	858	115
51	3008	S-0-2	C. H. Externa	246156	7505827	28	846	103
52	3057	S-0-2	C. H. Externa	246148	7505817	22	841	97
53	3136	S-0-2	C. H. Externa	246042	7505825	24	845	101
54	3271	S-0-2	C. H. Externa	245932	7505878	30	849	105
55	3290	S-0-2	C. H. Externa	245997	7505936	14	847	104
56	3376	S-0-2	C. H. Externa	246012	7505886	15	847	104
57	3735	S-0-2	C. H. Externa	245791	7506101	40	868	125
58	223	S-0-3	C. H. Externa	246070	7505825	23	846	89
59	239	S-0-3	C. H. Externa	246048	7505857	60	888	132
60	994	S-0-3	C. H. Externa	246098	7505923	28	856	100
61	1057	S-0-3	C. H. Externa	245939	7505961	4	836	79
62	1082	S-0-3	C. H. Externa	245777	7506076	25	854	98
63	1233	S-0-3	C. H. Externa	245953	7505999	40	870	114
64	1341	S-0-3	C. H. Externa	246184	7505673	44	818	61
65	1385	S-0-3	C. H. Externa	246128	7505795	40	858	102
66	1448	S-0-3	C. H. Externa	246117	7505780	30	849	92
67	1504	S-0-3	C. H. Externa	246119	7505801	18	837	80

Tabela D. 1 – continuação da página anterior								
Num	ID	Sítio	Superfície	E	N	Altura_m	MDT+ Altura	Violação
68	1632	S-0-3	C. H. Externa	245975	7505882	72	901	144
69	1648	S-0-3	C. H. Externa	246028	7505829	2	824	67
70	1702	S-0-3	C. H. Externa	246036	7505837	24	848	91
71	1824	S-0-3	C. H. Externa	239266	7517622	50	773	16
72	1832	S-0-3	C. H. Externa	245447	7527421	29	786	29
73	1841	S-0-3	C. H. Externa	246070	7505825	2	825	68
74	2323	S-0-3	C. H. Externa	245309	7527428	58	812	56
75	2761	S-0-3	C. H. Externa	246148	7505817	30	849	92
76	2799	S-0-3	C. H. Externa	246143	7505801	20	838	81
77	2865	S-0-3	C. H. Externa	246079	7505823	24	846	90
78	2955	S-0-3	C. H. Externa	246155	7505826	40	858	102
79	3008	S-0-3	C. H. Externa	246156	7505827	28	846	90
80	3057	S-0-3	C. H. Externa	246148	7505817	22	841	84
81	3136	S-0-3	C. H. Externa	246042	7505825	24	845	88
82	3271	S-0-3	C. H. Externa	245932	7505878	30	849	92
83	3290	S-0-3	C. H. Externa	245997	7505936	14	847	91
84	3376	S-0-3	C. H. Externa	246012	7505886	15	847	91
85	3735	S-0-3	C. H. Externa	245791	7506101	40	868	111
86	1832	S-1-1	B. H. Interna	245447	7527421	29	786	94
87	2323	S-1-1	B. H. Interna	245309	7527428	58	812	120
88	1245	S-1-1	C. H. Externa	234383	7547736	19	1040	248
89	1277	S-1-1	C. H. Externa	250522	7530867	12	815	23
90	1360	S-1-1	C. H. Externa	250554	7530919	2	799	7
91	1535	S-1-1	C. H. Externa	249860	7539756	40	801	9
92	1706	S-1-1	C. H. Externa	250560	7530896	20	819	27
93	1823	S-1-1	C. H. Externa	250552	7530901	22	821	29
94	2122	S-1-1	C. H. Externa	250582	7530950	31	826	34
95	2323	S-1-1	C. H. Externa	245309	7527428	58	812	20
96	2507	S-1-1	C. H. Externa	250578	7530886	15	814	22
97	2810	S-1-1	C. H. Externa	234386	7547733	13	1034	242
98	2867	S-1-1	C. H. Externa	246140	7532971	40	854	62
99	2936	S-1-1	C. H. Externa	247271	7543911	36	814	22
100	2998	S-1-1	C. H. Externa	250577	7530851	20	820	28
101	3006	S-1-1	C. H. Externa	250583	7530889	60	858	66

Tabela D. 1 – continuação da página anterior								
Num	ID	Sítio	Superfície	Е	N	Altura_m	MDT+ Altura	Violação
102	3110	S-1-1	C. H. Externa	250575	7530879	50	849	57
103	3112	S-1-1	C. H. Externa	254340	7516146	80	819	27
104	3537	S-1-1	C. H. Externa	250575	7530879	25	824	32
105	1832	S-1-2	A. aproximacao_1	245447	7527421	29	786	23
106	2323	S-1-2	A. aproximacao_1	245309	7527428	58	812	52
107	469	S-1-2	A. aproximacao_4	237444	7533799	58	737	10
108	724	S-1-2	A. aproximacao_4	237447	7533812	56	735	8
109	898	S-1-2	A. aproximacao_4	237443	7533799	54	733	6
110	2295	S-1-2	A. aproximacao_4	237503	7533874	60	739	12
111	2295	S-1-2	A. decolagem_4	237503	7533874	60	739	13
112	469	S-1-2	B. H. Interna	237444	7533799	58	737	29
113	724	S-1-2	B. H. Interna	237447	7533812	56	735	28
114	898	S-1-2	B. H. Interna	237443	7533799	54	733	25
115	2295	S-1-2	B. H. Interna	237503	7533874	60	739	32
116	72	S-1-2	C. H. Externa	221280	7534390	61	914	107
117	119	S-1-2	C. H. Externa	221355	7536641	60	883	76
118	209	S-1-2	C. H. Externa	221303	7534762	54	893	86
119	999	S-1-2	C. H. Externa	221280	7534390	56	909	102
120	1055	S-1-2	C. H. Externa	222611	7537870	4	871	64
121	1234	S-1-2	C. H. Externa	222644	7537953	29	897	90
122	1245	S-1-2	C. H. Externa	234383	7547736	19	1040	233
123	1253	S-1-2	C. H. Externa	222644	7537954	28	896	89
124	1277	S-1-2	C. H. Externa	250522	7530867	12	815	8
125	1706	S-1-2	C. H. Externa	250560	7530896	20	819	12
126	1823	S-1-2	C. H. Externa	250552	7530901	22	821	14
127	2122	S-1-2	C. H. Externa	250582	7530950	31	826	19
128	2296	S-1-2	C. H. Externa	221413	7535780	48	868	61
129	2507	S-1-2	C. H. Externa	250578	7530886	15	814	7
130	2750	S-1-2	C. H. Externa	221427	7535771	33	855	48
131	2810	S-1-2	C. H. Externa	234386	7547733	13	1034	227
132	2867	S-1-2	C. H. Externa	246140	7532971	40	854	47
133	2936	S-1-2	C. H. Externa	247271	7543911	36	814	7
134	2998	S-1-2	C. H. Externa	250577	7530851	20	820	13
135	3006	S-1-2	C. H. Externa	250583	7530889	60	858	51

Tabela D. 1 – continuação da página anterior								
Num	ID	Sítio	Superfície	E	N	Altura_m	MDT+ Altura	Violação
136	3110	S-1-2	C. H. Externa	250575	7530879	50	849	42
137	3112	S-1-2	C. H. Externa	254340	7516146	80	819	12
138	3460	S-1-2	C. H. Externa	221294	7534747	45	886	79
139	3494	S-1-2	C. H. Externa	222611	7537870	58	925	118
140	3537	S-1-2	C. H. Externa	250575	7530879	25	824	17
141	3569	S-1-2	C. H. Externa	221388	7534367	40	888	81
142	469	S-1-3	A. transicao_1	237444	7533799	58	737	34
143	724	S-1-3	A. transicao_1	237447	7533812	56	735	30
144	898	S-1-3	A. transicao_1	237443	7533799	54	733	30
145	469	S-1-3	B. H. Interna	237444	7533799	58	737	24
146	724	S-1-3	B. H. Interna	237447	7533812	56	735	22
147	898	S-1-3	B. H. Interna	237443	7533799	54	733	20
148	2295	S-1-3	B. H. Interna	237503	7533874	60	739	27
149	72	S-1-3	C. H. Externa	221280	7534390	61	914	101
150	119	S-1-3	C. H. Externa	221355	7536641	60	883	71
151	209	S-1-3	C. H. Externa	221303	7534762	54	893	81
152	725	S-1-3	C. H. Externa	219330	7537682	45	921	108
153	999	S-1-3	C. H. Externa	221280	7534390	56	909	97
154	1004	S-1-3	C. H. Externa	219310	7537666	47	924	112
155	1055	S-1-3	C. H. Externa	222611	7537870	4	871	59
156	1234	S-1-3	C. H. Externa	222644	7537953	29	897	84
157	1245	S-1-3	C. H. Externa	234383	7547736	19	1040	227
158	1253	S-1-3	C. H. Externa	222644	7537954	28	896	83
159	1706	S-1-3	C. H. Externa	250560	7530896	20	819	7
160	1823	S-1-3	C. H. Externa	250552	7530901	22	821	9
161	1890	S-1-3	C. H. Externa	220075	7537904	5	853	40
162	2122	S-1-3	C. H. Externa	250582	7530950	31	826	14
163	2296	S-1-3	C. H. Externa	221413	7535780	48	868	56
164	2750	S-1-3	C. H. Externa	221427	7535771	33	855	42
165	2810	S-1-3	C. H. Externa	234386	7547733	13	1034	221
166	2867	S-1-3	C. H. Externa	246140	7532971	40	854	42
167	2998	S-1-3	C. H. Externa	250577	7530851	20	820	7
168	3006	S-1-3	C. H. Externa	250583	7530889	60	858	46
169	3084	S-1-3	C. H. Externa	219742	7538151	30	893	80

Apêndice D: Análises de Obstáculos

Tabela D. 1 – continuação da página anterior								
Num	Num ID Sítio Superfície E N Altura_m MDT+ Altura							
170	3110	S-1-3	C. H. Externa	250575	7530879	50	849	37
171	3460	S-1-3	C. H. Externa	221294	7534747	45	886	74
172	3494	S-1-3	C. H. Externa	222611	7537870	58	925	113
173	3537	S-1-3	C. H. Externa	250575	7530879	25	824	12
174	3569	S-1-3	C. H. Externa	221388	7534367	40	888	76



Análises AHP

Análise de sensibilidade

A análise de sensibilidade é importante para entender como a variação de um peso provoca alterações no ranqueamento dos sítios. A seguir, são apresentados os gráficos para cada um dos critérios classificatórios, variando-se um a um.

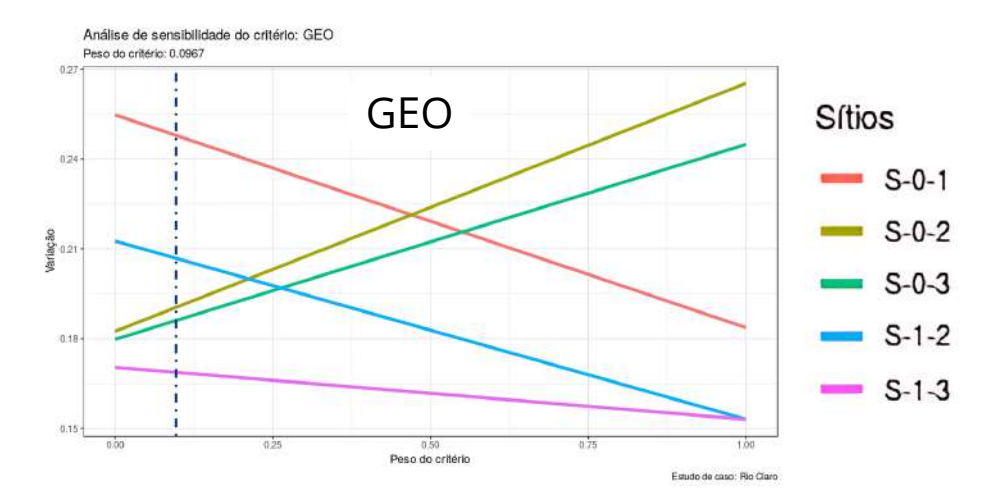


Figura E. 1: Análise de sensibilidade: GEO

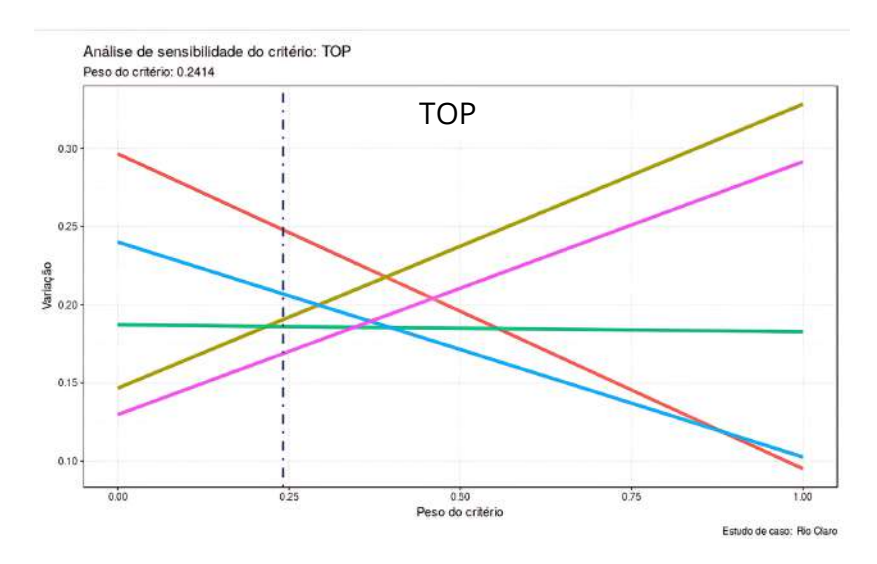


Figura E. 2: Análise de sensibilidade: TOP

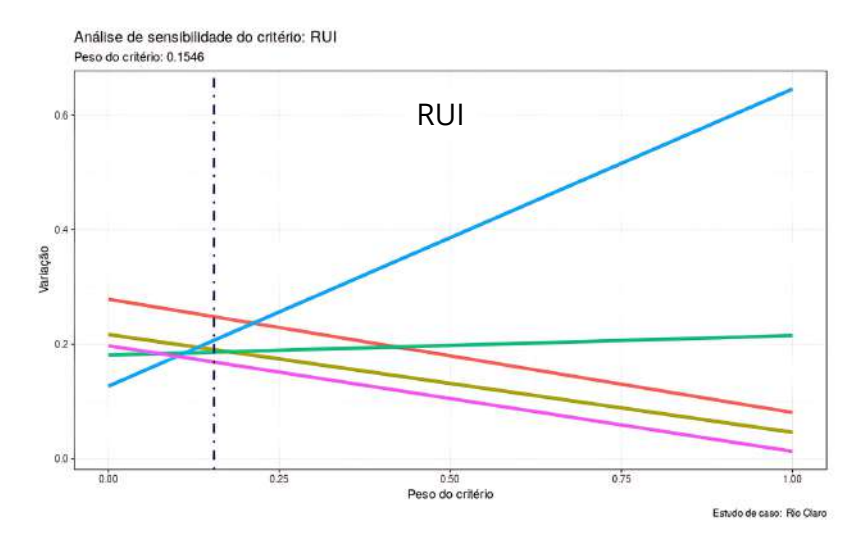


Figura E. 3: Análise de sensibilidade: RUI

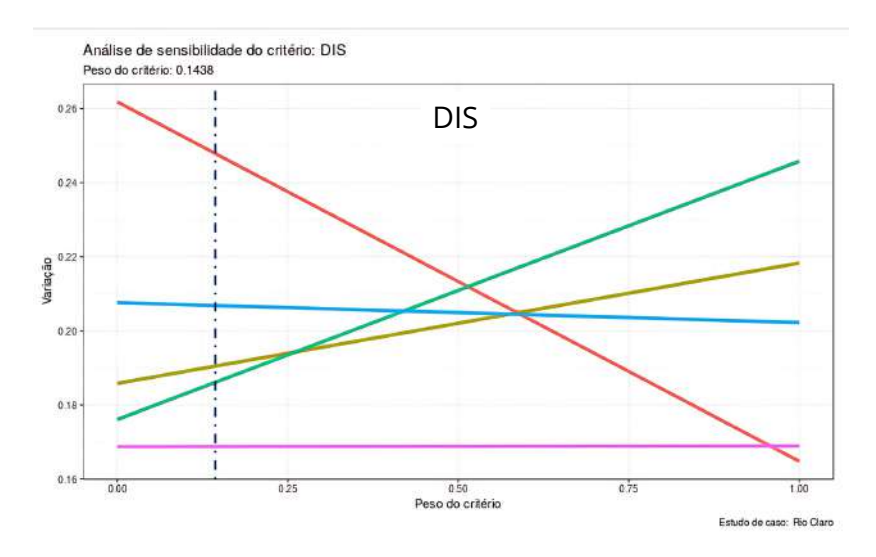


Figura E. 4: Análise de sensibilidade: DIS

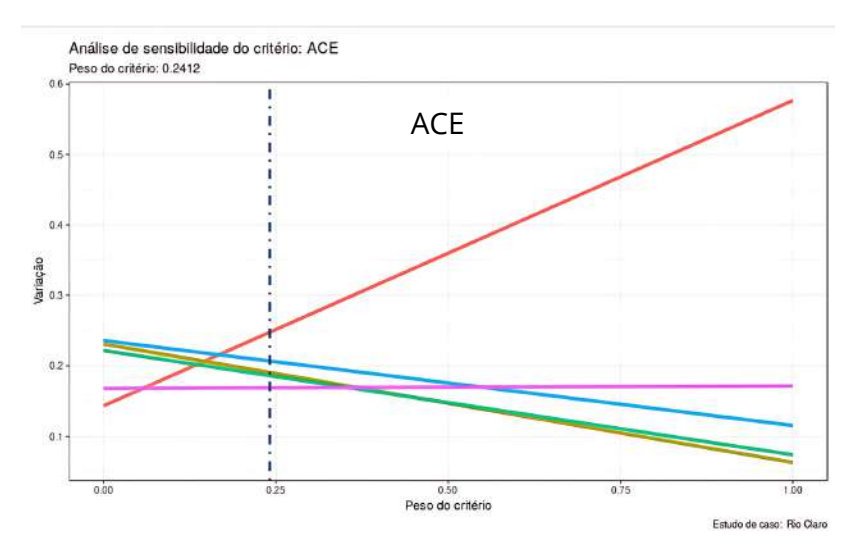


Figura E. 5: Análise de sensibilidade: ACE

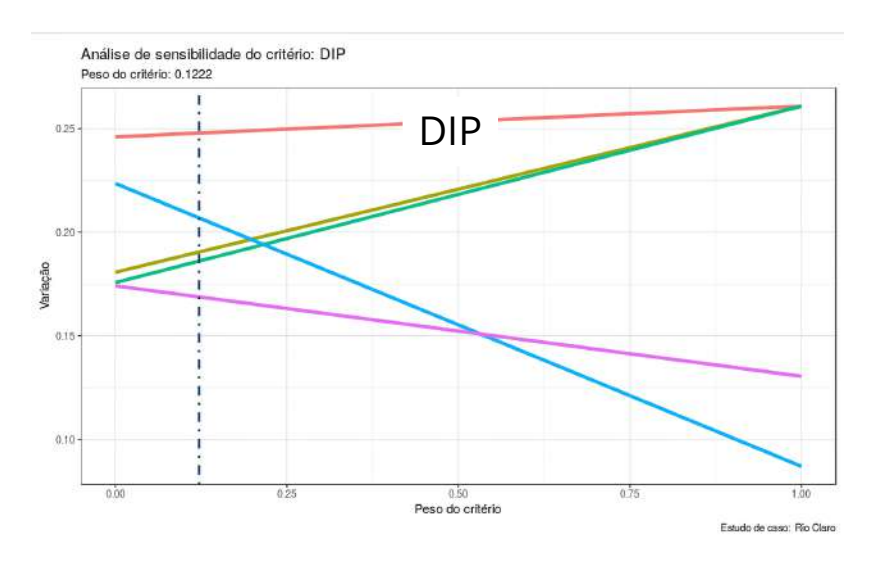


Figura E. 6: Análise de sensibilidade: DIP

Pode-se concluir que o ranqueamento é em boa medida sensível ao peso do critério ruído. Isso se deve à disparidade entre os quantitativos de edificações afetadas pela curva de 65 dB do PBZR. O sítio S-1-2 é muito vantajoso neste aspecto específico.

O critério ACE pesa a favor do S-0-1, muito favorecido por acessos diminutos.

Prospecção de Novo Sítio Aeroportuário

RIO CLARO - SP

Preparado para a Secretaria Nacional de Aviação Civil Ministério de Portos e Aeroportos